

ศึกษาค่าพารามิเตอร์ของมอเตอร์เหนี่ยวนำสามเฟส

โดยการควบคุมความถี่ของอินเวอร์เตอร์

STUDY THE PARAMETERS OF THREE PHASE INDUCTION MOTOR

BY CONTROLLING THE FREQUENCY OF INVERTER

นายฤทธิรงค์ ศรีโสภาน รหัส 50364782

นางสาวสุวิมล เวพุ รหัส 50364898

ห้องสมุดคณะวิศวกรรมศาสตร์	๑๙ ม.ค. ๒๕๕๕
วันที่รับ.....
เลขที่บัตร.....	15740551
ผู้เชี่ยวชาญ.....	26.
หมายเหตุ.....	01/238

2853

ปริญญาในพนธน์เป็นส่วนหนึ่งของการศึกษาหลักสูตรปริญญาวิศวกรรมศาสตรบัณฑิต
สาขาวิชาช่างไฟฟ้า ภาควิชาช่างไฟฟ้าและคอมพิวเตอร์
คณะวิศวกรรมศาสตร์ มหาวิทยาลัยนเรศวร
ปีการศึกษา 2553



ใบรับรองปริญญานิพนธ์

ชื่อหัวข้อโครงงาน ศึกษาค่าพารามิเตอร์ของน้ำเสียในแม่น้ำเจ้าพระยาโดยการควบคุมความถี่ของอินเวอร์เตอร์

ผู้ดำเนินโครงการ นายฤทธิรงค์ ศรีไสว รหัส 50364782

นางสาวสุวิมล เวพ รหัส 50364898

ที่ปรึกษาโครงงาน ผู้ช่วยศาสตราจารย์ ดร.สมพร เรืองสินชัยวนิช

สาขาวิชา วิศวกรรมไฟฟ้า

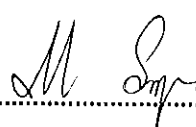
ภาควิชา วิศวกรรมไฟฟ้าและคอมพิวเตอร์

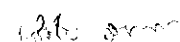
ปีการศึกษา 2553

คณะกรรมการคัดเลือกสูตรวิศวกรรมศาสตรบัณฑิต สาขาวิชาวิศวกรรมไฟฟ้า
อนุมัติให้ปริญญานิพนธ์ฉบับนี้เป็นส่วนหนึ่ง
ของการศึกษาตามหลักสูตรวิศวกรรมศาสตรบัณฑิต สาขาวิชาวิศวกรรมไฟฟ้า


.....ที่ปรึกษาโครงงาน

(ผู้ช่วยศาสตราจารย์ ดร.สมพร เรืองสินชัยวนิช)


.....กรรมการ
(ดร.มุทิตา สงปันธ์)


.....กรรมการ
(อ.แสงชัย นังกรทอง)

ชื่อหัวข้อโครงการ	ศึกษาค่าพารามิเตอร์ของมอเตอร์เหนี่ยวนำสามเฟส โดยการควบคุมความถี่ของอินเวอร์เตอร์
ผู้ดำเนินโครงการ	นายฤทธิรงค์ ศรีสกาว รหัส 50364782
	นางสาวสุวิมล เวพุ รหัส 50364898
ที่ปรึกษาโครงการ	ผู้ช่วยศาสตราจารย์ ดร.สมพร เรืองสินชัยวนิช
สาขาวิชา	วิศวกรรมไฟฟ้า
ภาควิชา	วิศวกรรมไฟฟ้าและคอมพิวเตอร์
ปีการศึกษา	2553

บทคัดย่อ

ปัจจุบันมอเตอร์เหนี่ยวนำได้ถูกนำมาประยุกต์ใช้งานในหลากหลายประเภทโดยเฉพาะอย่างยิ่งในระบบขับเคลื่อนต่างๆ ในโรงงานอุตสาหกรรม เพราะข้อดีของมอเตอร์เหนี่ยวนำ เช่น ราคาถูกและสะดวกต่อการบำรุงรักษา อย่างไรก็ตามการควบคุมความเร็วของมอเตอร์เหนี่ยวนำนัก เป็นปัญหาเสมอ ในปัจจุบันสามารถแก้ปัญหาได้โดยการประยุกต์ใช้งานด้วยอินเวอร์เตอร์ อีกทั้ง ยังสามารถทำให้การทำงานของมอเตอร์เหนี่ยวนำมีประสิทธิภาพสูงและสามารถประยุกต์พัลส์งาน โครงการนี้จึงได้นำเสนอผลการทดลองของการนำอินเวอร์เตอร์มาควบคุมความเร็วของมอเตอร์ เหนี่ยวนำ โดยเฉพาะอย่างยิ่ง ความถี่, าร์โนนิกส์ และกระแสของมอเตอร์เหนี่ยวนำขณะทำงาน ได้ถูกศึกษา

Project title	Study the Parameters of Three Phase Induction Motor by Controlling the Frequency of Inverter	
Name	Mr. Rittirong Srisopa	ID. 50364782
	Ms. Suwimol Welu	ID. 50364898
Project advisor	Assistant Professor Somporn Ruangsinchaiwanich, Ph.D.	
Major	Electrical Engineering	
Department	Electrical and Computer Engineering	
Academic year	2010	

Abstract

Induction motor is recently used in many applications in particular for electric drives in manufactory due to its advantages for example low cost and easy maintenance. However, speed control of the induction motor is usually questioned, but the problem of its speed control is lately solved as purposing inverter. Furthermore, the operation of induction motor can be better performance and lower energy saving. This project is purposed effect of the applied inverter to control speed of induction motor. Particularly, frequency, harmonic and current of the motor is studied.

กิตติกรรมประกาศ

โครงการวิศวกรรมเรื่องศึกษาค่าพารามิเตอร์ของนอเตอร์เหนี่ยวนำสามเฟสโดยการ
ควบคุมความถี่ของอินเวอร์เตอร์สำเร็จได้ด้วยดี เนื่องจากได้รับคำแนะนำและความช่วยเหลือ
รวมทั้งข้อคิดเห็นต่างๆ ขันเป็นประโยชน์ในการทำโครงการนี้จาก ผู้ช่วยศาสตราจารย์ ดร.สมพร
เรืองสินชัยวนิช ซึ่งเป็นอาจารย์ที่ปรึกษาโครงการ

ขอขอบคุณ นายเกรียงศักดิ์ ไกรกิจราษฎร์ และ นายณัฐพล สิทธิศรีจันทร์ นิสิตปริญญาโท
สาขาวิศวกรรมไฟฟ้า มหาวิทยาลัยนเรศวร ที่กรุณากล่าวให้ความร่วมมือและช่วยเหลือในการแนะนำ
อุปกรณ์ในการทดสอบผลกระทบของนอเตอร์เหนี่ยวนำโดยควบคุมอินเวอร์เตอร์จนทำให้
โครงการครั้งนี้สำเร็จสมบูรณ์

ขอขอบพระคุณคณาจารย์ทุกท่านที่ได้ช่วยประสิทธิ์ประสาทวิชาความรู้ให้กับคณะ
ผู้ดำเนินโครงการ นอกจากนี้ยังต้องขอขอบคุณทางภาควิชาวิศวกรรมไฟฟ้าและคอมพิวเตอร์ที่
เอื้อเพื่อเครื่องมือและอุปกรณ์ในการทำโครงการนี้ จนทำให้โครงการนี้สำเร็จลุล่วงไปได้

เนื่อสั้นอีกด้วย ขอกราบขอพระคุณบิດามารดาที่ได้ส่งเสียค่าเล่าเรียนและเป็นกำลังใจให้
รวมทั้งเป็นผู้ให้ทุกสิ่งทุกอย่างด้วยแต่เยาววัยจนถึงปัจจุบัน จนทำให้ได้รับความสำเร็จอย่างทุก
วันนี้ ทางคณะผู้ดำเนินโครงการจะไม่ลืมพระคุณของทุกท่านที่เราได้กล่าวมาข้างต้นตลอดไป

นายฤทธิรงค์ ศรีโสภาน

นางสาวสุวิมล เวฬุ

สารบัญ

หน้า

ใบรับรองปริญญาบัณฑิต ก
บทคัดย่อภาษาไทย ข
บทคัดย่อภาษาอังกฤษ ค
กิตติกรรมประกาศ ง
สารบัญ จ
สารบัญตาราง ฉ
สารบัญรูป blat

บทที่ 1 บทนำ 1

1.1 ความเป็นมาและความสำคัญของโครงการ 1
1.2 วัตถุประสงค์ของโครงการ 1
1.3 ขอบเขตของโครงการ 2
1.4 แผนการดำเนินงาน 2
1.5 ประโยชน์ที่คาดว่าจะได้รับ 3
1.6 จบประมาณ 3

บทที่ 2 ทฤษฎีและหลักการที่เกี่ยวข้อง 4
--

2.1 มอเตอร์เหนี่ยวนำ 3 เฟส 4
2.1.1 โครงสร้างของมอเตอร์เหนี่ยวนำ 3 เฟส 4
2.1.2 สนามแม่เหล็กหมุนของมอเตอร์เหนี่ยวนำ 3 เฟส 5
2.1.3 สลิป 6
2.1.4 การส่งผ่านกำลังของมอเตอร์เหนี่ยวนำ 3 เฟส 7
2.2 อินเวอร์เตอร์ 3 เฟส 8
2.3 หลักการทำงานและการควบคุมอินเวอร์เตอร์แบบพัลส์วิดท์มอคูลาชั่น 8
2.3.1 ส่วนประกอบและหน้าที่ของอินเวอร์เตอร์ 9
2.3.2 การควบคุมความเร็วของอินเวอร์เตอร์ 10
2.3.3 อินเวอร์เตอร์สำหรับการควบคุมมอเตอร์ 12

สารบัญ (ต่อ)

หน้า

2.3.4 รูปแบบการนำการควบคุมมอเตอร์โดยใช้อินเวอร์เตอร์ไปใช้งาน	15
2.4 โหลดของมอเตอร์	16
2.4.1 การประเมินโหลดของมอเตอร์	18
2.5 ประสิทธิภาพของมอเตอร์ไฟฟ้า	19
2.5.1 การใช้งานมอเตอร์ให้เหมาะสมกับโหลด	21
2.6 เพาเวอร์เฟลกเตอร์	21
2.6.1 ผลกระทบเนื่องจากเพาเวอร์เฟลกเตอร์ต่ำ	22
2.7 ชาร์โภนิกส์	23
2.7.1 แหล่งกำเนิดชาร์โภนิกส์	23
2.7.2 ผลกระทบอันเนื่องมาจากการชาร์โภนิกส์	24
2.7.3 การประเมินค่าความเพียงชาร์โภนิกส์	25
 บทที่ 3 การออกแบบการทดลอง	27
3.1 การออกแบบการทดลอง	27
3.2 ขั้นตอนและวิธีการทดลอง	29
 บทที่ 4 ผลการทดลอง	33
4.1 ทดสอบการทำงานของอินเวอร์เตอร์ในความถี่ต่างๆ	34
4.2 ทดสอบมอเตอร์เพื่อหาระยะแสงของมอเตอร์แบบไม่มีโหลด	35
4.3 ทดสอบมอเตอร์เพื่อหาระยะแสงของมอเตอร์แบบมีโหลด	36
4.4 ประสิทธิภาพของมอเตอร์หนึ่งปัจจัย 3 เฟส	40
4.5 กระแสชาร์โภนิกส์	44
4.6 การเปรียบเทียบผลการทดลองและวิเคราะห์ผลการทดลอง	48

สารบัญ (ต่อ)

	หน้า
บทที่ 5 สรุปผลการดำเนินโครงการ.....	54
5.1 สรุปผลการดำเนินโครงการ.....	54
5.2 ประเมินผลการทดลอง.....	55
5.3 ปัญหา ข้อเสนอแนะและแนวทางแก้ไข.....	55
5.4 ข้อคิดของการศึกษาผลกระบวนการของมอเตอร์เห็นี่ยวนำโดยควบคุมอินเวอร์เตอร์	56
5.5 แนวทางในการพัฒนาต่อไป	56
 เอกสารอ้างอิง	59
 ภาคผนวก	58
 ประวัติผู้ดำเนินโครงการ	76

สารบัญตาราง

ตารางที่	หน้า
2.1 สรุปความสัมพันธ์ระหว่างความเร็วรอบกับขั้วแม่เหล็กของมอเตอร์เหนี่ยวนำ	11
2.2 ความสัมพันธ์ของความเร็วรอบของมอเตอร์ที่ความถี่ของอินเวอร์เตอร์ที่แตกต่างกัน	11
2.3 วิธีแปลงความกว้างของพัลส์ที่ใช้เปิด-ปิดทรานซิสเตอร์แต่ละช่วง	14
2.4 รูปแบบควบคุมการเปิด-ปิดสวิตช์โดยวิธี PWM แบบ Sine Wave.....	15
2.5 การสูญเสียประเกทต่างๆในมอเตอร์เหนี่ยวนำ	20
2.6 อันดับอาร์โนนิกส์และลำดับเฟสต่างๆ	25
2.7 ขีดจำกัดกระแสสาร์โนนิกส์สำหรับระบบจ้านอยไฟฟ้า	26
2.8 ค่าขีดจำกัดของแรงดันอาร์โนนิกส์.....	26
4.1 ค่าพารามิเตอร์ที่วัดได้จากมอเตอร์เหนี่ยวนำที่สภาวะไม่มีโหลด.....	35
4.2 ค่าพารามิเตอร์ที่วัดได้จากมอเตอร์เหนี่ยวนำที่โหลด 10% - 100% ความถี่ 30 Hz	36
4.3 ค่าพารามิเตอร์ที่ได้จากมอเตอร์เหนี่ยวนำที่โหลด 10% - 100% ความถี่ 40 Hz	37
4.4 ค่าพารามิเตอร์ที่วัดได้จากมอเตอร์เหนี่ยวนำที่โหลด 10% - 100% ความถี่ 50 Hz	38
4.5 ค่าพารามิเตอร์ที่วัดได้จากมอเตอร์เหนี่ยวนำที่โหลด 10% - 100% ความถี่ 60 Hz	39
4.6 ประสิทธิภาพของมอเตอร์เหนี่ยวนำ 3 เฟสโดยมีความถี่ 30 Hz.....	40
4.7 ประสิทธิภาพของมอเตอร์เหนี่ยวนำ 3 เฟสโดยมีความถี่ 40 Hz.....	41
4.8 ประสิทธิภาพของมอเตอร์เหนี่ยวนำ 3 เฟสโดยมีความถี่ 50 Hz.....	42
4.9 ประสิทธิภาพของมอเตอร์เหนี่ยวนำสามเฟสโดยมีความถี่ 60 Hz.....	43
4.10 กระแสสาร์โนนิกส์ที่โหลดระหว่าง 10% - 100% โดยมีความถี่ 30 Hz.....	44
4.11 กระแสสาร์โนนิกส์ที่โหลดระหว่าง 10% - 100% โดยมีความถี่ 40 Hz.....	45
4.12 กระแสสาร์โนนิกส์ที่โหลดระหว่าง 10% - 100% โดยมีความถี่ 50 Hz.....	46
4.13 กระแสสาร์โนนิกส์ที่โหลดระหว่าง 10% - 100% โดยมีความถี่ 60 Hz.....	47

สารบัญรูป

รูปที่	หน้า
2.1 มอเตอร์เหนี่ยวนำ 3 เฟส	4
2.2 การจ่ายแรงดันไฟฟ้า 3 เฟสให้กับมอเตอร์เหนี่ยวนำ 3 เฟส	6
2.3 การส่งผ่านกำลังของมอเตอร์เหนี่ยวนำ 3 เฟส	7
2.4 อินเวอร์เตอร์	8
2.5 บล็อกໄคอะแกรนพื้นฐานของอินเวอร์เตอร์	9
2.6 อินเวอร์เตอร์สำหรับการควบคุมมอเตอร์	12
2.7 โหลดแรงบิดคงที่	17
2.8 โหลดแรงบิดแปรผัน	17
2.9 โหลดกำลังคงที่	17
2.10 การสูญเสียพลังงานในมอเตอร์	19
2.11 รูปคลื่นของกระแสและแรงดันไฟฟ้า	22
2.12 สาร์โนนิกส์เมงในลำดับต่างๆ เมื่อเปรียบเทียบกับรูปคลื่นความถี่หลักมูตร	23
3.1 วงจรการทดลองในสภาพที่มีโหลด	27
3.2 มอเตอร์เหนี่ยวนำ 3 เฟส ต่อกับมิเตอร์ที่ใช้หลักการของสนามแม่เหล็กไฟฟ้า	28
3.3 การต่อวงจรในสภาพไม่มีโหลด	29
3.4 อินเวอร์เตอร์	31
3.5 ออสซิลโลสโคป	31
3.6 เครื่องวัดกระแส (ต่อกับออสซิลโลสโคป)	31
3.7 เครื่องวัดความเร็วรอบ	31
3.8 Power & Harmonics Analyzer	31
3.9 มอเตอร์เหนี่ยวนำ 3 เฟส	31
3.10 Electrodynamometer	32
3.11 แหล่งจ่ายไฟ 3 เฟส	32
3.12 แผนภาพวงจรรวมในการทดลอง	32

สารบัญรูป (ต่อ)

รูปที่	หน้า
4.1 (ก) รูปคลื่นสัญญาณของอินเวอร์เตอร์ 3 เฟสแบบ PWM ที่ความถี่ 20 Hz.....	34
(ข) รูปคลื่นสัญญาณของอินเวอร์เตอร์ 3 เฟสแบบ PWM ที่ความถี่ 30 Hz.....	34
(ค) รูปคลื่นสัญญาณของอินเวอร์เตอร์ 3 เฟสแบบ PWM ที่ความถี่ 40 Hz.....	34
(ง) รูปคลื่นสัญญาณของอินเวอร์เตอร์ 3 เฟสแบบ PWM ที่ความถี่ 50 Hz.....	34
(จ) รูปคลื่นสัญญาณของอินเวอร์เตอร์ 3 เฟสแบบ PWM ที่ความถี่ 60 Hz.....	34
4.2 (ก) กราฟกระแสที่ความถี่ 30 Hz ในสภาวะโหลด 0%.....	35
(ข) กราฟกระแสที่ความถี่ 40 Hz ในสภาวะโหลด 0%.....	35
(ค) กราฟกระแสที่ความถี่ 50 Hz ในสภาวะโหลด 0%.....	35
(ง) กราฟกระแสที่ความถี่ 60 Hz ในสภาวะโหลด 0%	35
4.3 (ก) กราฟกระแสที่ความถี่ 30 Hz ในสภาวะโหลด 50%.....	36
(ข) กราฟกระแสที่ความถี่ 30 Hz ในสภาวะโหลด 100%.....	36
4.4 (ก) กราฟกระแสที่ความถี่ 40 Hz ในสภาวะโหลด 50%.....	37
(ข) กราฟกระแสที่ความถี่ 40 Hz ในสภาวะโหลด 100%.....	37
4.5 (ก) กราฟกระแสที่ความถี่ 50 Hz ในสภาวะโหลด 50%.....	38
(ข) กราฟกระแสที่ความถี่ 50 Hz ในสภาวะโหลด 100%.....	38
4.6 (ก) กราฟกระแสที่ความถี่ 60 Hz ในสภาวะโหลด 50%.....	39
(ข) กราฟกระแสที่ความถี่ 60 Hz ในสภาวะโหลด 100%.....	39
4.7 (ก) กราฟชาร์โภนิกส์ที่ความถี่ 30 Hz ในสภาวะโหลด 50%.....	44
(ข) กราฟชาร์โภนิกส์ที่ความถี่ 30 Hz ในสภาวะโหลด 100%.....	44
4.8 (ก) กราฟชาร์โภนิกส์ที่ความถี่ 40 Hz ในสภาวะโหลด 50%.....	45
(ข) กราฟชาร์โภนิกส์ที่ความถี่ 40 Hz ในสภาวะโหลด 100%.....	45
4.9 (ก) กราฟชาร์โภนิกส์ที่ความถี่ 50 Hz ในสภาวะโหลด 50%.....	46
(ข) กราฟชาร์โภนิกส์ที่ความถี่ 50 Hz ในสภาวะโหลด 100%.....	46
4.10 (ก) กราฟชาร์โภนิกส์ที่ความถี่ 60 Hz ในสภาวะโหลด 50%.....	47
(ข) กราฟชาร์โภนิกส์ที่ความถี่ 60 Hz ในสภาวะโหลด 100%.....	47
4.11 แผนภูมิแสดงความเร็วตอบของมอเตอร์ที่โหลดขนาดต่างๆ	48
4.12 แผนภูมิแสดงกระแสของมอเตอร์ที่โหลดขนาดต่างๆ.....	49
4.13 แผนภูมิแสดงค่าเพาเวอร์เฟคเตอร์ของมอเตอร์ที่โหลดขนาดต่างๆ	50

สารบัญรูป (ต่อ)

รูปที่	หน้า
4.14 แผนภูมิแสดงค่า P_{in} และ P_{out} ของมอเตอร์ที่โหลดขนาดต่างๆ	51
4.15 แผนภูมิแสดงค่าประสิทธิภาพของมอเตอร์ที่โหลดขนาดต่างๆ	52
4.16 แผนภูมิแสดงค่ากระแสเยาร์โนนิกส์ของมอเตอร์ที่โหลดขนาดต่างๆ	53

บทที่ 1

บทนำ

1.1 ความเป็นมาและความสำคัญของโครงงาน

ในปัจจุบันมอเตอร์หนีบวนน้า (Induction Motor) แบบ 3 เฟส ได้ถูกนำมาใช้งานอย่างแพร่หลายทั้งในระบบการผลิตของโรงงานอุตสาหกรรม อุปกรณ์เครื่องใช้ไฟฟ้าภายในบ้านพักอาศัย เช่น ปั๊มน้ำ ระบบสายพานลำเลียง พัดลมเพาอากาศ และคอมเพรสเซอร์ของระบบเครื่องปรับอากาศ เป็นต้น

เนื่องจากความหลากหลายของประเภทมอเตอร์หนีบวนนำกระแสลับ การควบคุมมอเตอร์ จึงจะต้องคำนึงถึงปัจจัยต่างๆ ที่เกี่ยวข้องกับความต้องการของผู้ใช้ เช่น แรงบิด ความเร็วรอบ รวมไปถึงค่ากำลังงานที่จะต้องใช้ในการขับมอเตอร์ ดังนั้น การเดือกใช้มอเตอร์หนีบวนนำให้เหมาะสม กับการใช้งาน รวมถึงการเดือกวิธีการควบคุมการทำงานของมอเตอร์ ควรพิจารณาถึงในด้าน วิศวกรรมศาสตร์และเคมีศาสตร์ โดยปัจจัยเหล่านี้จะชี้นำอยู่กับคุณสมบัติของมอเตอร์ ซึ่งมีความแตกต่างกัน

จากปัญหาที่ได้กล่าวถึงในข้างต้น ทำให้วิทยานิพนธ์ฉบับนี้ได้นำเสนอการศึกษา ที่เกี่ยวข้องกับการควบคุมมอเตอร์หนีบวนนำกระแสลับ โดยนำเสนอหลักการควบคุมความเร็วของ มอเตอร์ โดยมีการนำเอาอินเวอร์เตอร์เข้ามาเป็นตัวเปลี่ยนแปลงความถี่ที่จ่ายให้กับมอเตอร์ หนีบวนนำกระแสลับ 3 เฟส

1.2 วัตถุประสงค์ของโครงงาน

เพื่อศึกษาค่าพารามิเตอร์ของมอเตอร์หนีบวนน้า ในขณะที่มอเตอร์หนีบวนนำทำงาน โดยใช้ การเปลี่ยนแปลงความถี่ของอินเวอร์เตอร์ 3 เฟส มาควบคุมความเร็วรอบของมอเตอร์หนีบวนน้า ใน สภาวะที่ไม่มีโหลดจนถึงสภาวะโหลดเต็มพิกัด

1.3 ขอบเขตของโครงการ

ศึกษาค่าพารามิเตอร์และผลกระทบของมอเตอร์เหนี่ยวนำ 3 เฟส ในสภาวะที่มอเตอร์เหนี่ยวนำ 3 เฟสทำงาน โดยมีการเปลี่ยนแปลงค่าความถี่ของอินเวอร์เตอร์ ระหว่าง 30 Hz ถึง 60 Hz ในสภาวะที่ไม่มีโหลดจนถึงสภาวะโหลดเต็มพิกัด แล้วนำผลการทดลองที่ได้มามวเคราะห์เปรียบเทียบ เพื่อหาประสิทธิภาพในการทำงานของมอเตอร์เหนี่ยวนำ 3 เฟสเพื่อยกคุณคุณโดยอินเวอร์เตอร์

1.4 แผนการดำเนินงาน

1.5 ประโยชน์ที่คาดว่าจะได้รับ

1.5.1 สามารถเข้าใจผลกระทบของมอเตอร์หนีบวัน 3 เฟส เมื่อมีการเปลี่ยนแปลงความถี่โดยใช้อินเวอร์เตอร์ ในสภาวะที่ไม่มีโหลดจนถึงสภาวะโหลดเต็มพิกัด

1.5.2 สามารถวิเคราะห์และเปรียบเทียบค่าพารามิเตอร์ต่างๆ ของมอเตอร์หนีบวัน 3 เฟส เมื่อมีการเปลี่ยนแปลงความถี่โดยใช้อินเวอร์เตอร์ ในสภาวะที่ไม่มีโหลดจนถึงสภาวะโหลดเต็มพิกัด

1.5.3 สามารถนำความรู้ไปเผยแพร่เพื่อให้เกิดประโยชน์

1.6 งบประมาณ

1.6.1 ค่ากระดาษและถ่ายเอกสาร	500 บาท
1.6.2 ค่าใช้จ่ายอื่นๆ ในการสร้างชิ้นงาน	1,000 บาท
1.6.3 ค่าจัดทำรูปเล่ม	500 บาท
รวมเป็นเงิน	<u>2,000</u> บาท

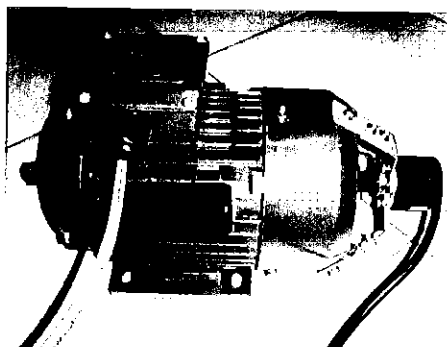
บทที่ 2

หมุนภูมิและหลักการที่เกี่ยวข้อง

มอเตอร์ไฟฟ้ากระแสสลับ 3 เฟสแบบเหนี่ยวนำ มีคุณสมบัติที่ดี คือ มีความเร็วรอบคงที่ เนื่องจากความเร็วรอบมอเตอร์เหนี่ยวนำจะมีค่ามากหรือน้อย ก็ขึ้นอยู่กับความถี่ (Frequency) ของ แหล่งกำเนิดไฟฟ้ากระแสสลับ เมื่อนำไปใช้ร่วมกับเครื่องควบคุมความเร็วแบบอินเวอร์เตอร์ (Inverter) ทำให้สามารถควบคุมความเร็ว (Speed) ของมอเตอร์ได้ตั้งแต่ศูนย์จนถึงความเร็วตาม พิกัดของมอเตอร์นิยมใช้กันมากในโรงงานอุตสาหกรรม

2.1 มอเตอร์เหนี่ยวนำ 3 เฟส (Three Phase Induction Motor)

มอเตอร์ในโรงงานอุตสาหกรรม ส่วนมากจะเป็นมอเตอร์เหนี่ยวนำ 3 เฟส เนื่องมาจาก มอเตอร์ชนิดนี้มีราคาไม่แพง ต้องการการดูแลรักษาน้อย และมีความเร็วค่อนข้างคงที่ คือ ความเร็ว ลดลงจากสภาพไม่มีโหลดจนกระทั่งขับโหลดเต็มที่เพียงไม่กี่เปอร์เซ็นต์



รูปที่ 2.1 มอเตอร์เหนี่ยวนำ 3 เฟส

2.1.1 โครงสร้างของมอเตอร์เหนี่ยวนำ 3 เฟส

มอเตอร์เหนี่ยวนำ 3 เฟส ประกอบด้วยส่วนประกอบหลัก 2 ส่วน คือ

1. สเตเตอร์ (Stator)

สเตเตอร์ของมอเตอร์เหนี่ยวนำ 3 เฟส มีโครงสร้างคล้ายกับของซิง โครน์สมอเตอร์ โดยทำ มาจากแผ่นเหล็กบางๆ อัดซ้อนเข้าด้วยกัน และทำเป็นช่องสลотовไว้บรรจุคลัวด์วันดา (Winding)

และจำนวนขั้วแม่เหล็กจะเป็นตัวกำหนดความเร็วของมอเตอร์ ขณะที่จ่ายไฟฟ้ากระแสสลับ ให้กับขดลวดที่สเตเตอเร ต่างผลให้ขดลวดสร้างสนามแม่เหล็ก และสนามแม่เหล็กนี้จะหมุน (Rotating) ด้วยความเร็ว ที่ถูกเรียกว่า ความเร็วซิง โครนัส ดังสมการที่ 2.1

$$N_s = \frac{120f}{P} \quad (2.1)$$

เมื่อกำหนดให้ N_s = ความเร็วซิง โครนัส

f = ความถี่หักมูลของไฟฟ้ากระแสสลับ

P = จำนวนขั้วแม่เหล็กของมอเตอร์

จากสมการที่ (2.1) พบว่า ความเร็วของสนามแม่เหล็กหมุนจะเปรียบเทียบกับความถี่ของ แรงดันไฟฟ้า แต่เนื่องจากที่เพลาของมอเตอร์เห็นช่วง 3 เฟส จะหมุนโดยมีความเร็วรอบน้อยกว่า ความเร็วรอบของสนามแม่เหล็กหมุนเล็กน้อย ที่ถูกเรียกว่า ความเร็วสลิป (Slip) ซึ่งมีค่าประมาณ 1% ถึง 3% ขึ้นอยู่กับภาระ (Load) ของมอเตอร์

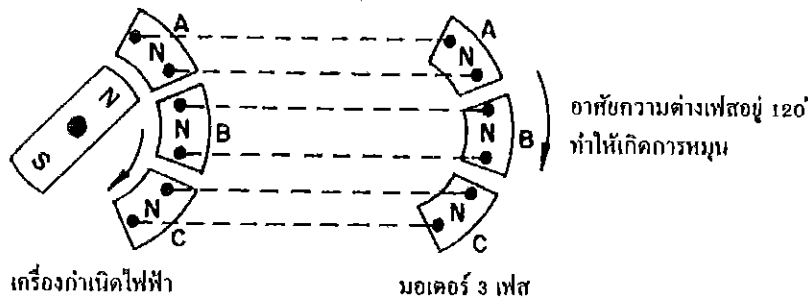
2. โรเตอร์ (Rotor)

ส่วนที่หมุนของมอเตอร์เห็นช่วง 3 เฟส แบ่งออกตามโครงสร้างได้เป็น 2 ชนิด ได้แก่ แบบแรก คือ โรเตอร์แบบกรงกระอก (Squirrel Cage Rotor) และแบบที่สอง คือ โรเตอร์แบบพัน ขดลวด (Wound Rotor Motor) ซึ่งในโครงงานที่ศึกษานี้ เลือกมอเตอร์เห็นช่วง 3 เฟส ที่มีโรเตอร์ แบบกรงกระอก มีรูปร่างของโรเตอร์เป็นรูปทรงกระบอก ผิวรอบๆ โรเตอร์จะเรียบ ที่ผิวด้านนอกผิวแห้งแต่ด้านในที่ทำการห้องแคงตลอดแนวความยาวของโรเตอร์ ที่ปลายแต่ละด้านของแท่ง ทั้งสองด้าน โรเตอร์ต่อจุดตรงกันระหว่างแท่ง สำหรับโรเตอร์ของมอเตอร์เห็นช่วงน้ำดึง และการใช้แห้งตัวนำทำลูมิเนสเซนซ์เข้าไปในโรเตอร์

2.1.2 สนามแม่เหล็กหมุนของมอเตอร์เห็นช่วง 3 เฟส

สนามแม่เหล็กของมอเตอร์เห็นช่วง 3 เฟส เมื่อมีกระแสไฟฟ้า流 3 เฟส จ่ายให้กับ ขดลวด 3 เฟส เป็นผลทำให้เกิดสนามแม่เหล็กหมุนในมอเตอร์นั้น สนามแม่เหล็กหมุนจะตัดกับ ตัวนำในโรเตอร์นั้น ทำให้เกิดกระแสไฟฟ้าเห็นช่วงชื้นในตัวนำที่ฟังอยู่ในโรเตอร์ และจะเกิด สนามแม่เหล็กชื้นในโรเตอร์ เพราะที่โรเตอร์มีกระแสไฟฟ้าเห็นช่วง ไหลอยู่ ซึ่งจะทำให้เกิด สนามแม่เหล็กเป็นชั้วหนึ่งและชั้วได้เช่นเดียวกับที่สเตเตอเร และสนามแม่เหล็กที่หมุนที่สเตเตอเร นั้น จะเกิดการหลักและดูดกับชั้วแม่เหล็กที่เกิดชื้นที่โรเตอร์ในทิศทางของสนามแม่เหล็กหมุน ผล ที่ได้จากการดูดและดูดกัน ระหว่างชั้วแม่เหล็กบนสเตเตอเร และโรเตอร์ทำให้เกิดแรงบิดชื้น

หลักการหมุนของสนามแม่เหล็ก โดยกระแสไฟฟ้า 3 เฟส จากรูปที่ 2.2 เป็นการแสดงให้เห็นว่า ถ้าเราจ่ายกระแสไฟฟ้าในระบบ 3 เฟส ให้กับขดลวดในสเตเตอเริ่นช่วงขณะหนึ่ง สมมติให้เป็นครั้งที่ 1 ใช้เคลื่บวน ดังแสดงในรูปที่ 2.2 ด้านขวานี้อ



รูปที่ 2.2 การจ่ายแรงดันไฟฟ้า 3 เฟสให้กับมอเตอร์เห็นยังไง 3 เฟส

โดยการต่อไฟฟ้าเฟส A เข้ากับเฟส A ของมอเตอร์, ต่อไฟฟ้าเฟส B เข้ากับเฟส B ของมอเตอร์ และต่อไฟฟ้าเฟส C เข้ากับเฟส C ของมอเตอร์ เมื่อกระแสไฟฟ้าในด้านครั้งที่ 1 ใช้เคลื่บวนเฟส A ให้เลี้ยวไปในขดลวดของเฟส A ของมอเตอร์ จะทำให้เกิดมีกระแสไฟฟ้าไหลผ่านขดลวดในเฟส A ของมอเตอร์นี้ ทำให้เกิดขั้ว N ขึ้น และเมื่อแรงดันไฟฟ้าที่อยู่ในเฟส A ที่จ่ายให้กับเฟส A ของมอเตอร์อยู่นี้ ก่อให้เกิดขั้ว S ขึ้น ลดลง จำนวนแม่เหล็กขั้ว N ก็จะค่อยๆ ลดจำนวนหรือความเข้มลงด้วย และในขณะเดียวกัน ที่เฟสดัดไปก็จะมีจำนวนแม่เหล็กคล้ายๆ กับเฟส A ในช่วงเวลาถัดไป จนครบ 3 เฟส ในหนึ่งขั้วแม่เหล็กของมอเตอร์ (คือเฟส A เฟส B และเฟส C) และเมื่อมีการเปลี่ยนแปลงของแรงดันไฟฟ้าในครั้งที่ 2 ใช้เคลื่บวนสุดท้ายแล้ว ในครั้งที่ 3 ใช้เคลื่บวนถัดไป ที่ขั้วแม่เหล็กดังกล่าว ก็จะเปลี่ยนสถานะจากขั้ว N ไปเป็นขั้ว S และในอีกหนึ่งขั้วแม่เหล็กถัดไป ก็จะมีลักษณะเช่นเดียวกันกับขั้วแม่เหล็กแรกที่กล่าวถึง ซึ่งลักษณะเท่านี้ เมื่อนักวิศวกรรมฯ เห็นว่า สนามแม่เหล็กหมุนไปรอบๆ สเตเตอเริ่น ซึ่งสนามแม่เหล็กที่หมุนกับหมุนไปรอบๆ นี้เรียกว่า สนามแม่เหล็กหมุน (Rotating Magnetic Field)

2.1.3 สลิป (Slip, S)

ในทางปฏิบัตินี้ โรเตอร์ไม่สามารถหมุนได้เท่ากับความเร็วของสนามแม่เหล็กหมุนที่สเตเตอเริ่น โดยปกติแล้วความเร็วของโรเตอร์จะมีความเร็วน้อยกว่าความเร็วของสนามแม่เหล็กที่หมุนที่สเตเตอเริ่น ความแตกต่างของความเร็วนี้ จะขึ้นอยู่กับโหลดที่ต่ออยู่กับมอเตอร์นี้

ความแตกต่างระหว่างความเร็วของสนามแม่เหล็กที่หมุนอยู่ที่สเตเตอร์หรือความเร็วชิงโกรนัส (N_s) และความเร็วรอบของโรเตอร์ขณะใช้งาน (Actual Speed, N) เรียกว่า สลิปของมอเตอร์โดยปกติเป็นเปอร์เซ็นต์ ซึ่งเปอร์เซ็นต์สลิป สามารถหาได้จากสมการดังนี้

$$S = \frac{N_s - N}{N_s} \quad (2.2)$$

$$\% Slip = \frac{N_s - N}{N_s} \times 100 \quad (2.3)$$

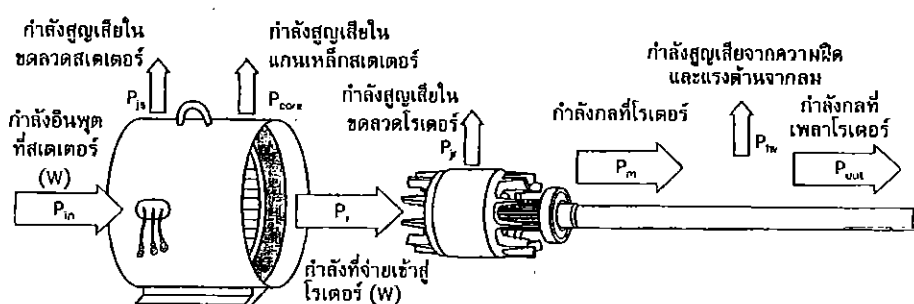
แต่ในบางครั้ง $N_s - N$ ก็เรียกว่า ความเร็วสลิป (Slip Speed)

จะได้ ความเร็วของโรเตอร์ คือ

$$N = N_s(1-s) \quad (2.4)$$

2.1.4 การส่งผ่านกำลังของมอเตอร์เหนี่ยวนำ 3 เฟส

มอเตอร์เหนี่ยวนำ 3 เฟส จะมีการส่งผ่านกำลังไฟฟ้าอินพุตจากแหล่งจ่ายไฟฟ้า ไปยังเพลาของมอเตอร์ เป็นไปตามลำดับการไหลของพลังงาน ดังรูปที่ 2.3



รูปที่ 2.3 การส่งผ่านกำลังของมอเตอร์เหนี่ยวนำ 3 เฟส

กำลังอินพุต เป็นพลังงานไฟฟ้าอินพุต (P_{in}) ที่มอเตอร์ได้รับจากแหล่งจ่ายไฟฟ้า 3 เฟส ผ่านชุดคลอดสเตเตอร์ ที่สเตเตอร์นี้จะแบ่งการสูญเสียได้ 2 ส่วน ได้แก่ กำลังสูญเสียของชุดคลอดสเตเตอร์ (P_{js}) มีค่าเท่ากับ $I^2 R$ และกำลังสูญเสียในเกนเนลลิกของสเตเตอร์ (P_{core}) กำลังที่เหลือออกมานี้ คือ กำลังที่ส่งผ่านซึ่งอากาศมายังโรเตอร์ (P_r) อย่างไรก็ตาม พลังงานที่ส่งผ่านมายังโรเตอร์นี้ จะมีกำลังสูญเสียจากคลอดของโรเตอร์ (P_{js}) เท่ากับ $I^2 R$ นั้นคือ พลังงานกลที่ออกมายังโรเตอร์ (P_m) คือ ผลต่างของ $P_r - P_{js}$ ซึ่งพลังงานกลนี้ จะต้องเอาชนะการสูญเสียจากความฝืดและแรงต้านจากลม ซึ่งเป็นกำลังสูญเสียที่เพลาของโรเตอร์ (P_{fw}) จึงจะได้กำลังงานกลที่เพลา

ของโรเตอร์ (P_{out}) ที่สามารถส่งให้กับโหลดได้ จากแผนผังในรูปที่ 2.3 สามารถคำนวณหาประสิทธิภาพของมอเตอร์หนึ่งว่า 3 เฟสได้ดังนี้

$$P_m = \sqrt{3}V_L I_L \cos \theta \quad (2.5)$$

$$P_{out} = \tau \omega_m \quad (2.6)$$

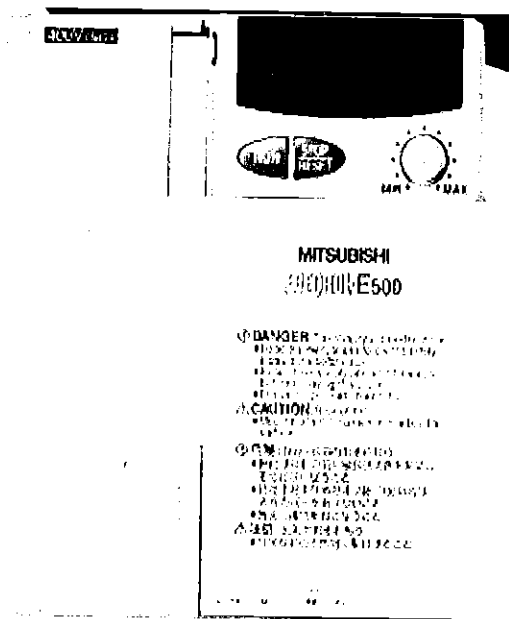
$$\text{โดยที่} \quad \omega_m = \frac{2\pi n_m}{60} \quad (2.7)$$

ดังนั้น ประสิทธิภาพของมอเตอร์ คือ

$$\% \eta = \frac{P_{out}}{P_m} \times 100\% \quad (2.8)$$

2.2 อินเวอร์เตอร์ 3 เฟส (Three Phase Inverters)

อุปกรณ์ที่ใช้สำหรับการแปลงไฟฟ้ากระแสตรงเป็นไฟฟ้ากระแสสลับ นิยมถูกเรียกว่า อินเวอร์เตอร์ (Inverters) โดยจะมีส่วนประกอบที่สำคัญอยู่ 2 ส่วน คือ อุปกรณ์อิเล็กทรอนิกส์และ อุปกรณ์อิเล็กทรอนิกส์กำลัง โดยมีหน้าที่หลัก คือ การเปลี่ยนแปลงความถี่ของแรงดันไฟฟ้า เพื่อ จ่ายให้กับมอเตอร์หนึ่งว่า 3 เฟส ผลให้ความเร็วของมอเตอร์หนึ่งว่า 3 เฟส มีการเปลี่ยนแปลง รูปที่ 2.4 แสดงอินเวอร์เตอร์ที่มีขนาดตามที่ว่าไป

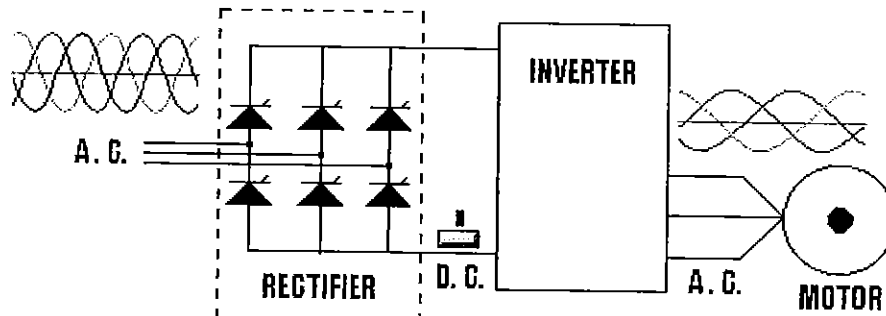


รูปที่ 2.4 อินเวอร์เตอร์ (Inverters)

2.3 หลักการทำงานและการควบคุมอินเวอร์เตอร์แบบพัลส์วิดท์มอดูเลชัน (Pulse Width Modulate, PWM)

2.3.1 ส่วนประกอบและหน้าที่ของอินเวอร์เตอร์

จากรูปดังนี้ ได้จะทราบพื้นฐานอย่างง่ายๆ ของอินเวอร์เตอร์ จะประกอบด้วยส่วนที่สำคัญๆ และมีการทำงาน ดังนี้



รูปที่ 2.5 บล็อกไซเรนเซอร์พื้นฐานของอินเวอร์เตอร์

1. วงจรเรียงกระแส (Rectifier Circuit)

วงจรเรกติไฟเออร์หรือวงจรเรียงกระแส ทำหน้าที่ เปลี่ยนจากแรงดันไฟฟ้ากระแสสลับ เป็นแรงดันไฟฟ้ากระแสตรง วงจรประกอบด้วยเพนเวย์ไดโอด 4 ตัว กรณีที่อินพุตเป็นแบบเฟสเดียวหรือมีพาวเวอร์ไดโอด 6 ตัว กรณีที่อินพุตเป็นแบบ 3 เฟส (สำหรับอินเวอร์เตอร์บางประเภท จะใช้ SCR ทำหน้าที่เป็นวงจรเรกติไฟเออร์ ซึ่งทำให้สามารถควบคุมระดับแรงดันในวงจรดีซีลิงค์ได้)

2. วงจรไฟฟ้ากระแสตรงเชื่อมโยง (DC Link Circuit)

ดีซีลิงค์หรือวงจรเชื่อมโยงทางกระแสตรง คือ วงจรเชื่อมโยงระหว่างวงจรเรียงกระแส และวงจรอินเวอร์เตอร์ ซึ่งจะประกอบด้วยคาปิซิเตอร์ที่มีขนาดใหญ่ พิกัดแรงดันไฟฟ้า 400 VDC หรือ 800 VDC โดยขึ้นอยู่กับแรงดันของด้านอินพุต ว่าจะเป็นแบบเฟสเดียวหรือ 3 เฟส ทำหน้าที่กรองแรงดันไฟฟ้ากระแสตรงที่ได้จากการเรกติไฟเออร์ให้เรียบยิ่งขึ้น และทำหน้าที่เก็บประจุไฟฟ้า ขณะที่มอเตอร์ทำงาน เมื่อเครื่องกำเนิดไฟฟ้าในช่วงเวลาสั้นๆ เนื่องจากการเบรก หรือมีการลดความเร็วรอบลงอย่างรวดเร็ว (สำหรับกรณีที่ใช้งานกับโหลดที่มีแรงเสียบมากๆ) และต้องการหยุดอย่างรวดเร็ว จะเกิดแรงดันสูงขึ้นกับมาตกคร่อมคาปิซิเตอร์และทำให้คาปิซิเตอร์เสียหาย ได้ดังนั้น ในทางปฏิบัติจะมีวงจรชดเปอร์โดยต่อค่าความต้านทานอนุกรมกับทรานซิสเตอร์ และ

ต่อขนาดกับค่าปานิช托ร์ไว้ โดยทرانซิสเตอร์จะทำหน้าที่เป็นสวิตซ์ตัดต่อควบคุมให้กระแสไฟหลั่นผ่านค่าความต้านทานเพื่อลดพลังงานที่เกิดขึ้น

3. วงจรอินเวอร์เตอร์ (Inverter Circuit)

วงจรอินเวอร์เตอร์ คือ ส่วนที่ทำหน้าที่แปลงแรงดันไฟฟ้าจากกระแสตรง (ที่ผ่านการกรองจากวงจรไฟฟ้ากระแสตรงเชื่อมโยง) เป็นแรงดันไฟฟ้ากระแสสลับ วงจรจะประกอบด้วยเพาเวอร์ทรานซิสเตอร์กำลัง 6 ชุด (ส่วนใหญ่จะใช้ IGBT) ทำหน้าที่เป็นสวิตซ์ตัดต่อกระแสไฟฟ้าเพื่อแปลงเป็นไฟฟ้ากระแสตรงเป็นไฟฟ้ากระแสสลับ โดยอาศัยเทคนิคที่นิยมใช้กันทั่วไปคือ PWM (Pulse Width Modulation)

4. วงจรควบคุม (Control Circuit)

วงจรควบคุม ทำหน้าที่ รับข้อมูลจากผู้ใช้ เช่น รับข้อมูลความเร็วรอบที่ต้องการเข้าไปทำการประมวลผลและส่งเอาท์พุทออกไปควบคุมการทำงานของทรานซิสเตอร์ เพื่อจ่ายแรงดันและความถี่ให้ได้ความเร็วรอบและแรงบิดตามที่ผู้ใช้งานต้องการ

เนื่องจาก การแปลงจากกระแสสลับไปเป็นกระแสสลับโดยตรงเลขนั้น ความถี่สูงสุดที่ได้ทางด้านเอาท์พุต จะไม่เกินความถี่ทางด้านอินพุต ทำให้ไม่สามารถควบคุมความเร็วรอบของมอเตอร์ให้มีความเร็วมากกว่าที่บันทึกไว้บนแผ่นป้ายของมอเตอร์ แต่การเปลี่ยนจากกระแสสลับไปเป็นกระแสตรงและแปลงกลับมาเป็นกระแสสลับอีกครั้ง จะทำให้อินเวอร์เตอร์สามารถสร้างความถี่ได้สูงกว่าความถี่ทางด้านอินพุต

2.3.2 การควบคุมความเร็วรอบโดยอินเวอร์เตอร์

เนื่องจาก ความเร็วรอบของมอเตอร์เนี่ยบว่าน่าจะเปลี่ยนแปลงสัมพันธ์กับสมการความเร็วรอบหรือสมการซิงโกรนัช-สปีด ดังสมการที่ (2.1) พบว่าความเร็วรอบของมอเตอร์สามารถปรับเปลี่ยนได้ 2 เส้นทาง คือ

1. เปลี่ยนจำนวนขั้วแม่เหล็ก (P)

2. เปลี่ยนแปลงความถี่ของกระแสไฟฟ้าที่จ่ายให้กับมอเตอร์ไฟฟ้า (f)

ดังนั้น หากความถี่กระแสไฟฟ้ามีค่าคงที่ คือ 50 Hz. (หรืออาจเป็น 60 Hz. ในบางประเทศ เช่น อเมริกา) ความเร็วรอบของมอเตอร์แต่ละตัวก็จะมีความเร็วรอบที่แตกต่างกัน โดยจะขึ้นอยู่กับจำนวนขั้วแม่เหล็กของมอเตอร์แต่ละตัว ซึ่งสามารถสรุปได้ตามตารางที่ 2.1

ตารางที่ 2.1 สรุปความสัมพันธ์ระหว่างความเร็วรอบกับจำนวนขั้วแม่เหล็กของมอเตอร์หนึ่งชิ้น

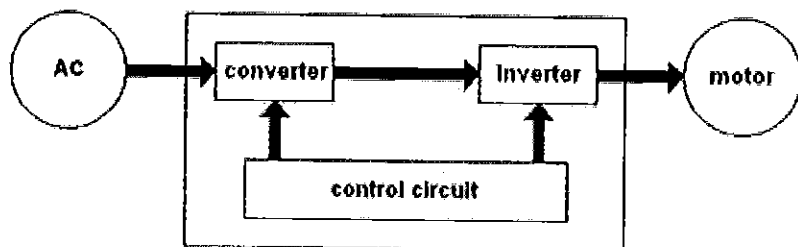
จำนวนขั้วแม่เหล็ก (P)	2	4	6	8	10	15
จำนวนรอบที่ความถี่ 50 Hz. (rpm)	3,000	1,500	1,000	750	600	500
จำนวนรอบที่ความถี่ 60 Hz. (rpm)	3,600	1,800	1,200	900	720	600

จากตารางที่ 2.1 พบว่า วิธีการควบคุมความเร็วรอบด้วยการเปลี่ยนจำนวนขั้วแม่เหล็กนั้น ความเร็วจะเปลี่ยนแปลงไปครึ่งลงมาหากา เช่น เปลี่ยนจาก 3,000 รอบต่อนาที ไปเป็น 1,500 รอบต่อนาทีหรือจาก 1,500 รอบต่อนาที เปลี่ยนไปเป็น 3,000 รอบต่อนาที (กรณีเปลี่ยนจากการต่อแบบ 2 ขั้วแม่เหล็กไปเป็นการต่อแบบ 4 ขั้วแม่เหล็ก หรือจากต่อ 4 ขั้วแม่เหล็กลดลงมาเหลือ 2 ขั้วแม่เหล็ก) ซึ่งการเปลี่ยนแปลงความเร็วรอบในลักษณะนี้ ความเร็วรอบที่เปลี่ยนแปลงไปจะไม่ ละเอียด ทำได้เฉพาะในสภาวะที่ไม่มีโหลด และที่สำคัญ คือ ต้องใช้มอเตอร์ที่ออกแบบมาพิเศษที่ สามารถเปลี่ยนแปลงจำนวนขั้วแม่เหล็กได้เท่านั้น ทำให้มีเหมาะสมกับความต้องการของงานใน หลากหลาย ประเภท ที่ต้องการควบคุมความเร็วรอบในสภาวะมีโหลด เพื่อให้ความเร็วเหมาะสมกับ ความเร็วของกระบวนการผลิต ดังนั้น ในกระบวนการผลิตทั่วไป จึงนิยมใช้อินเวอร์เตอร์ในการ ควบคุมความเร็วรอบของมอเตอร์มากกว่า เนื่องจาก สามารถควบคุมให้มอเตอร์ด้วยความเร็วคงที่ ปรับความเร็วรอบไปที่ความเร็วต่างๆ ได้อย่างรวดเร็วและมีความเที่ยงตรงมากกว่า ดังแสดงใน ตารางที่ 2.2

ตารางที่ 2.2 ความสัมพันธ์ของความเร็วรอบของมอเตอร์ที่ความถี่ของอินเวอร์เตอร์ที่แตกต่างกัน

ความถี่ของอินเวอร์เตอร์ (Hz.)	1	10	20	30	40	50
จำนวนรอบที่ความถี่ 50 Hz. (rpm)	60	600	1,200	1,800	2,400	3,000

2.3.3 อินเวอร์เตอร์สำหรับการควบคุมมอเตอร์



รูปที่ 2.6 อินเวอร์เตอร์สำหรับการควบคุมมอเตอร์

มอเตอร์เป็นอุปกรณ์ไฟฟ้า ที่ใช้ในการแปลงพลังงานไฟฟ้าไปเป็นพลังงานกล โดยนำพลังงานที่ได้รับไปทำการขับเคลื่อนเครื่องจักรอื่นๆ ต่อไป ความเร็วของมอเตอร์ สามารถกำหนดได้โดย

1. แรงบิดของโหลด
2. จำนวนขั้วของมอเตอร์
3. ความถี่ของแหล่งจ่ายไฟที่ใช้กับมอเตอร์
4. แรงดันที่จ่ายให้กับมอเตอร์

ความเร็วของมอเตอร์สามารถหาได้จากสูตร ดังต่อไปนี้

$$N_s = \frac{120f}{P} \times (1-s) \quad (2.9)$$

โดย เทอม $1 - s$ กำหนดโดยโหลด

จากสมการที่ (2.9) พบว่า ถ้าความถี่ของแหล่งจ่ายไฟเปลี่ยนแปลงไป มีผลทำให้มอเตอร์มีความเร็วเปลี่ยนแปลงไปด้วย แต่เมื่อทำการเปลี่ยนความถี่ โดยให้แรงดันคงที่ จะมีผลทำให้เกิดฟลักซ์แม่เหล็กเพิ่มมากขึ้นจนอิ่มตัว ซึ่งอาจทำให้มอเตอร์ร้อนจนเกิดความเสียหายได้ ดังนั้น จึงต้องทำการเปลี่ยนแปลงแรงดันควบคู่ไปกับความถี่ด้วย และการที่จะเปลี่ยนแปลงความถี่ของแหล่งจ่ายไฟฟ้า สามารถทำได้โดยการนำอินเวอร์เตอร์ร์มาใช้ ซึ่งมีหลักการทำงานดังรูปที่ 2.6 แหล่งจ่ายไฟฟ้ากระแสสลับจ่ายไฟฟ้ากระแสสลับไปยังคอนเวอร์เตอร์ ซึ่งคอนเวอร์เตอร์ทำงานนี้ที่เปลี่ยนไฟฟ้ากระแสสลับให้เป็นไฟฟ้ากระแสตรง แล้วนำไฟฟ้ากระแสตรงที่ได้ต่อเป็นอินพุตเข้าไปในวงจรอินเวอร์เตอร์ ซึ่งทำงานนี้ที่เปลี่ยนกระแสไฟฟ้ากระแสตรงนี้เป็นไฟฟ้ากระแสสลับที่สามารถเลือกความถี่ได้ เพื่อไปควบคุมมอเตอร์ให้มีความเร็วตามต้องการได้

การเปลี่ยนแปลงแรงดันของอินเวอร์เตอร์ตามความถี่ โดยวิธีการปรับเปลี่ยนของแรงดันสามารถทำได้หลายวิธี ดังนี้

1. วิธีปรับขนาดแรงดันของไฟครอง (Pulse Amplitude Modulation, PAM)
2. วิธีปรับความกว้างของพัลส์ ที่ใช้เพื่อปิด-ปิดทรานซิสเตอร์ (Pulse Width Modulation, PWM)
 - เป็น Square Wave
 - เป็น Sine Wave

โดยแต่ละวิธีจะทำให้เกิดผลต่อมอเตอร์ดังตารางที่ 2.3

ตารางที่ 2.3 วิธีประมวลผลของพัลส์ที่ใช้เปิด-ปิดทรานซิสเตอร์แต่ละวิธี

วิธีควบคุม	ความถี่ต่ำ (แรงดันต่ำ)	ความถี่สูง (แรงดันสูง)	จุดเด่น
วิธี PAM PULSE AMPLITUDE MODULATION			- เสียงน้อยเหลือรำบ - ประสิทธิภาพดี - ควบคุมขนาด แรงดันที่คอนเวอร์เตอร์ ผลตอบช้า
วิธี PWM PULSE WIDTH MODULATION			- ส่วนอินเวอร์เตอร์สามารถควบคุมความถี่และแรงดันได้ทั้งหมด - ได้ยินเสียงความถี่สูงจากมอเตอร์
วิธี PWM ที่ให้แรงดันเป็นรูปหลายนัย			- เดินมอเตอร์ได้เรียบที่ความเร็วต่ำ - ยาร์โนนิกต่ำเมื่อขนาดเล็ก - ได้ยินเสียงความถี่สูงจากมอเตอร์

วิธี PWM แบบ Sine Wave นี้ จะมีการเปิด-ปิดสวิตช์หลายๆ ครั้งในหนึ่งไซเคิลและการเปิด-ปิดในแต่ละครั้งจะใช้เวลาไม่เท่ากัน จำนวนการเปิด-ปิดใน 1 วินาที เรียกว่า ความถี่แกเริร์ (Carrier Frequency) ซึ่งวิธี PWM แบบ Sine Wave มีรูปแบบควบคุมการเปิด-ปิดสวิตช์ 3 แบบดังแสดงในตารางที่ 2.4

ตารางที่ 2.4 รูปแบบควบคุมการเปิด-ปิดสวิตช์โดยวิธี PWM แบบ Sine Wave

รูปแบบการควบคุม	ความถี่ต่ำ	ความถี่สูง	จุดเด่น
แบบซิงโกรนัส (SYNCHRO-NOUS)	ความถี่แกเริร์ ประมาณ ความถี่ขาออก	 N = 1 นาที	 N = 1 นาที <ul style="list-style-type: none"> -สามารถควบคุมชาร์โนนิกได้ -แรงดันขาออกสูงสุดเกือบเท่ากับแรงดันของแหล่งจ่ายไฟ
แบบอะซิงโกรนัส (ASYNCHRO-NOUS)	ความถี่แกเริร์คงที่ไม่สัมพันธ์กับความถี่ขาออก	 N = 1 นาที	 N = 1 นาที <ul style="list-style-type: none"> -เสียงรบกวนจากมอเตอร์ จะเป็นเสียงเดียว ไม่น่ารำคาญ
แบบผสม	ย่านความถี่ต่ำ เป็นอะซิงโกรนัส และย่านความถี่สูงเป็นซิงโกรนัส	 N = 1 นาที และ N = 1 นาที	 N = 1 นาที และ N = 1 นาที <ul style="list-style-type: none"> -สามารถควบคุมได้ทั้งย่านความถี่ต่ำและบิดอุดจนถึงความถี่สูง

2.3.4 รูปแบบการทำการควบคุมมอเตอร์โดยใช้อินเวอร์เตอร์รีบีฟิเช้งน์

1. การสตาร์ท

ทำได้โดย ตั้งความถี่แก่ อินเวอร์เตอร์ด้วยความถี่สตาร์ท มอเตอร์ก็จะสร้างแรงบิดขึ้นมาจากนั้นอินเวอร์เตอร์จะค่อยๆ เพิ่มความถี่ขึ้นไป จนกระทั่งแรงบิดของมอเตอร์สูงกว่าแรงบิดของโหลด มอเตอร์จึงเริ่มหมุน

2. การเร่งความเร็วและการเดินเครื่องด้วยความเร็วคงที่

หลังจากสตาร์ทอินเวอร์เตอร์และมอเตอร์แล้ว ความถี่ขาออกจะค่อยๆ เพิ่มขึ้น จนถึงความถี่ที่ต้องการ ช่วงเวลาในการเพิ่มความถี่นี้ คือ เวลาการเร่งความเร็วและเมื่อความถี่ขาออก

เท่ากับความถี่ที่ต้องการแล้ว การเร่งความเร็ว ก็จะหยุด อินเวอร์เตอร์จะเข้าสู่การทำงานในช่วงเวลา การเดินเครื่องด้วยความเร็วคงที่

3. การลดความเร็ว

ทำได้โดย การตั้งความถี่ให้ต่ำกว่าความถี่ข้าอก อินเวอร์เตอร์จะลดความถี่ลงมาเรื่อยๆ ตามช่วงเวลาการลดความเร็วที่ได้ตั้งไว้ ในขณะที่ลดความถี่ ความเร็วของมอเตอร์จะมีค่ามากกว่าความถี่ข้าอกของอินเวอร์เตอร์ ทำให้มอเตอร์ทำงานเหมือนเครื่องกำเนิดไฟฟ้า ผลิตไฟจ่ายกลับไปให้อินเวอร์เตอร์ (Regeneration) ทำให้แรงดันไฟตรง (แรงดันตกคร่อมเดนเซอร์) มีค่าเพิ่มนี้ ดังนั้น ภายในอินเวอร์เตอร์จะมีวงจรที่ทำหน้าที่รับพลังงานที่เกิดจากการจ่ายไฟกลับ (Regeneration) ซึ่งจะมีผลทำให้เกิดการเบรกมอเตอร์ วงจรนี้เรียกว่า วงจรเบรกคืนพลังงาน

ในช่วงการลดความเร็วจะทำงานในลักษณะนี้หลายๆ ครั้ง ถ้าพลังงานมีค่าน้อย (แรงบิดที่จำเป็นสำหรับการลดความเร็วเมื่อขนาดเด็ก) อัตราการใช้งานวงจรเบรกจะต่ำ บางครั้งอาจจะไม่ทำงานเลยก็มี

อัตราการใช้งานวงจรเบรคนี้ ได้รับการออกแบบโดยการพิจารณาในแง่ของการระบบ ความร้อน ไว้ที่ 2% ถึง 3% เท่านั้น ถ้ามีการใช้เบรกบ่อยหรือใช้เบรกนานเกินไป อาจจะทำให้เกิดปัญหาการระบายความร้อนของตัวต้านทาน และอาจทำให้อุปกรณ์ที่ทำหน้าที่สวิตช์เสื่อมได้

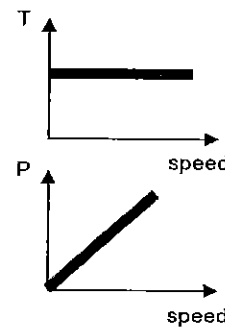
4. การหยุด

อินเวอร์เตอร์จะลดความถี่ลงจนถึงระดับหนึ่ง และจะผลิตไฟตรงเข้าไปในมอเตอร์เพื่อทำงานเป็นเบรก จนมอเตอร์หยุดหมุน เรียกว่า การเบรกด้วยไฟตรง

2.4 โหลดของมอเตอร์

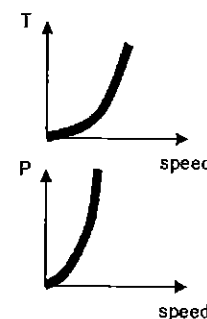
ในความหมายของปริมาณภาระงาน (โหลด) ของมอเตอร์ เป็นสิ่งสำคัญสิ่งหนึ่งที่ควรที่จะเข้าใจ โดยทั่วไป โหลดแบ่งออกเป็น 3 กลุ่ม ดังนี้

1. โหลดแรงบิดคงที่ (Constant Torque) คือ โหลดที่มีความต้องการกำลังส่งออกแปรผันกับความเร็วในการทำงานแต่ไม่แปรผันกับแรงบิด ตัวอย่างของโหลดแรงบิดคงที่ ได้แก่ สายพาน ล้ำเลียงเตาเผาแบบหมุนและเครื่องสูบแบบแทนที่คงที่



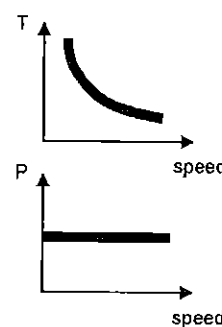
รูปที่ 2.7 โหลดแรงบิดคงที่ (Constant Torque)

2. โหลดแรงบิดแปรผัน (Variable Torque) คือ โหลดที่มีความต้องการแรงบิดแปรผันกับความเร็วในการทำงาน ตัวอย่างของโหลดแรงบิดผันแปร ได้แก่ เครื่องสูบแบบแรงหมุนเหวี่ยง (แรงบิดจะผันแปรไปกับค่าความเร็วยกกำลังสอง)



รูปที่ 2.8 โหลดแรงบิดแปรผัน (Variable Torque)

3. โหลดกำลังคงที่ (Constant Power) คือ โหลดที่มีความต้องการแรงบิดที่แปรผกผันกับความเร็ว ตัวอย่างของโหลดกำลังคงที่ ได้แก่ เครื่องจักรต่างๆ



รูปที่ 2.9 โหลดกำลังคงที่ (Constant Power)

2.4.1 การประเมินโหลดของมอเตอร์

เนื่องจากการประเมินประสิทธิภาพของมอเตอร์จะทำได้ยากภายใต้สภาพการทำงานปกติ โดยสามารถประเมินโหลดของมอเตอร์ เพื่อเป็นตัวบ่งชี้ประสิทธิภาพของมอเตอร์ได้ เมื่อปริมาณโหลดเพิ่มสูงขึ้น ค่าตัวประกอบกำลังและค่าประสิทธิภาพของมอเตอร์ก็จะเพิ่มขึ้นจนถึงค่าที่ทำให้ได้ประโยชน์สูงสุด เมื่อมีปริมาณโหลดเดิมที่

การคำนวณปริมาณโหลดจะใช้สมการดังต่อไปนี้

$$Load = \frac{P_i \times \eta}{HP \times 0.7457} \quad (2.10)$$

โดยที่ η คือ ค่าประสิทธิภาพในการทำงานของมอเตอร์แสดงเป็น %

HP คือ อัตรากำลังแรงม้าที่ระบุไว้ในป้ายชื่อ

$Load$ คือ โหลดซึ่งคือกำลังส่งออกโดยคิดเป็น % ของอัตรากำลังที่ระบุไว้

P_i คือ ค่ากำลัง 3 เฟสในหน่วยโวตต์ (kW)

มี 3 วิธีการสำหรับการคำนวณโหลดของมอเตอร์ที่มีการทำงานแบบเบกขิสระ

1. การวัดกำลังอินพุต วิธีนี้ จะคำนวณโหลดในฐานะที่เป็นอัตราส่วนระหว่างกำลังอินพุต (วัดโดยเครื่องวิเคราะห์กำลัง) และอัตรากำลังที่กำหนดไว้ ในสภาวะที่มีโหลด 100%
2. การวัดกระแสในสายโหลด ใช้วิธีการคำนวณโดยจะทำการเปรียบเทียบค่ากำลังกระแสไฟฟ้า (วัดโดยเครื่องวิเคราะห์กำลัง) กับค่ากำลังกระแสไฟฟ้าที่กำหนดไว้ วิธีการนี้จะถูกใช้เมื่อไม่ทราบค่าตัวประกอบกำลังและทราบเพียงค่ากำลังกระแสไฟฟ้าเท่านั้น และแนะนำว่าควรใช้วิธีนี้เมื่อมีปอร์เซนต์ของโหลดน้อยกว่า 50%
3. วิธีการเดือนโหลด จะถูกคำนวณโดยการเปรียบเทียบค่าการเดือนโหลดที่วัดได้ เมื่อมอเตอร์กำลังทำงาน โดยมีการเดือนโหลดสำหรับมอเตอร์ที่มีโหลดเต็มที่ วิธีการนี้ มีข้อจำกัดเรื่องความแม่นยำ แต่สามารถนำมาใช้กับเครื่องมือวัดความเร็วรอบของการหมุนเท่านั้น (ไม่จำเป็นต้องใช้เครื่องวิเคราะห์กำลัง)

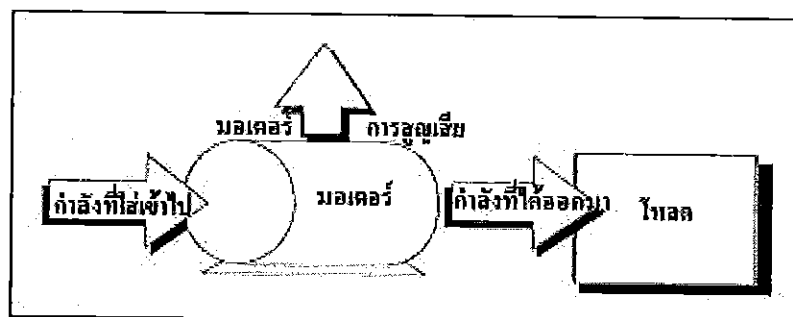
2.5 ประสิทธิภาพของมอเตอร์ไฟฟ้า

ประสิทธิภาพของเครื่องจักรกลทางไฟฟ้า หมายถึง กำลังงานที่ต้องการใช้งานจริง (Useful Power) หารด้วยกำลังทางด้านอินพุต (Input Power) ซึ่งในทางอุดมคตินี้ กำลังที่ต้องการใช้งานจริง จะต้องมีค่าเท่ากับกำลังทางด้านอินพุต แต่ในทางปฏิบัติจริงนั้น กำลังทางด้านอินพุตจะมากกว่ากำลังทางด้านเอาท์พุตเสมอ

ประสิทธิภาพของมอเตอร์เนี้ยวน้ำจะมีค่าสูงสุด เมื่อกำลังสูญเสียที่ขึ้นอยู่กับโหลด (Load-Dependent Losses) และกำลังสูญเสียที่ไม่ขึ้นอยู่กับโหลด (Load-Independent Losses) มีค่าเท่ากัน นั่นหมายความว่า ประสิทธิภาพของมอเตอร์จะมีค่าเปลี่ยนแปลงตามกำลังด้านเอาท์พุตของมอเตอร์

ส่วนมากประสิทธิภาพจะไม่ค่อยมีการเปลี่ยนแปลงมากนัก และจะมีค่าสูงใกล้เคียงค่าประสิทธิภาพตามพิกัดของมอเตอร์ที่ออกแบบ โดยเฉพาะขณะที่โหลดของมอเตอร์มีค่าอยู่ในระหว่าง 60% ถึง 85% (เฉลี่ยประมาณ 75%) และค่าประสิทธิภาพจะตกลงอย่างรวดเร็ว หากโหลดของมอเตอร์โดยเฉลี่ย เริ่มน้อยกว่า 50% ลงมา ดังนั้น หากมอเตอร์อยู่ในสภาพรับโหลดน้อย ก็จะทำให้เกิดกำลังสูญเสียเป็นอย่างมาก และในการณ์ที่มอเตอร์มีประสิทธิภาพสูงขึ้น ค่าเพาเวอร์แฟคเตอร์ของมอเตอร์นั้นก็จะมีค่าสูงขึ้นด้วย (ในบางครั้ง ประสิทธิภาพมีค่าสูงขึ้น แต่ค่าเพาเวอร์แฟคเตอร์ไม่สูงขึ้นตามไปด้วย) ถ้ามอเตอร์ไฟฟ้านี้ประสิทธิภาพต่ำจะทำให้ค่าเพาเวอร์แฟคเตอร์ของมอเตอร์มีค่าต่ำลง ทำให้เกิดกำลังสูญเสียมากขึ้น

มอเตอร์จะเปลี่ยนพลังงานไฟฟ้าให้เป็นพลังงานกล เพื่อทำงานให้ได้ปริมาณที่แน่นอน ในการบวนการนี้จะมีการสูญเสียพลังงานไป ดังแสดงในรูปที่ 2.10



รูปที่ 2.10 การสูญเสียพลังงานในมอเตอร์

ประสิทธิภาพของมอเตอร์ถูกวัดโดยปริมาณการสูญเสียภายใน ซึ่งจะถูกลดลงได้โดยการเปลี่ยนรูปแบบการอุดแนบและการทำงานของมอเตอร์ การสูญเสียจะผันแปรไปได้ตั้งแต่ประมาณ 2% ถึง 20% ดังแสดงในตารางที่ 2.5

ตารางที่ 2.5 การสูญเสียประเภทต่างๆ ในมอเตอร์เหนี่ยวนำ

ประเภทของการสูญเสีย	เปอร์เซ็นต์ของการสูญเสียทั้งหมด (100%)
การสูญเสียหลัก	25
การสูญเสียผันแปร: การสูญเสีย I^2R ของขดลวดที่อยู่กับที่	34
การสูญเสียผันแปร: การสูญเสีย I^2R ของแกนหมุน	21
การสูญเสียจากแรงเสียดทานและการหมุนพันขดลวด	15
การสูญเสียจากการบ่ายเบนของโหลด	5

ปัจจัยต่างๆ ที่มีผลผลกระทบต่อประสิทธิภาพของมอเตอร์ มีดังนี้

1. อายุ มอเตอร์ใหม่จะมีประสิทธิภาพมากกว่า
2. กำลังการผลิต เช่นเดียวกันกับอุปกรณ์ส่วนใหญ่ ประสิทธิภาพของมอเตอร์จะเพิ่มขึ้นตามอัตรากำลังการผลิต
3. ความเร็ว มอเตอร์ที่มีความเร็วสูงกว่า มักจะมีประสิทธิภาพมากกว่า
4. ประเภท มอเตอร์แบบกรองกระแสมักจะมีประสิทธิภาพมากกว่ามอเตอร์แบบวงแหวนเลื่อน
5. อุณหภูมิ มอเตอร์ที่ปิด และทำให้เย็น โดยใช้พัดลม จะมีประสิทธิภาพมากกว่ามอเตอร์ที่ใช้จากก้นและป้องกันการหดตัว
6. การหมุนพันขดลวดให้มอเตอร์ อาจทำให้ประสิทธิภาพลดลง
7. โหลด

2.5.1 การใช้งานมอเตอร์ให้เหมาะสมกับโหลด

เมื่อโหลดของมอเตอร์ลดลง ประสิทธิภาพของมอเตอร์จะต่ำลง โดยเฉพาะอย่างยิ่งเมื่อโหลดลดลงต่ำกว่าร้อยละ 40 ของพิกัด เมื่อจาก เมื่อโหลดลดลงกำลังสูญเสียส่วนหนึ่งยังคงที่เข่น กำลังสูญเสียในแกนเหล็ก กำลังสูญเสียจากพัดลมระบายความร้อนท้ายมอเตอร์ ดังนั้น ควรเลือกใช้งานมอเตอร์ให้เหมาะสมกับโหลด ร้อยละของโหลดเทียบกับพิกัดควรจะสูงกว่า 60 หากพบว่าโหลดต่ำ ควรปรับปรุงให้การใช้งานมอเตอร์เหมาะสมกับโหลดมากขึ้น โดยสับเปลี่ยนมอเตอร์ที่มีอยู่ให้มีขนาดเดียวกัน จะลดกำลังไฟฟ้าที่มอเตอร์ต้องการลงได้ ทั้งนี้ ควรตรวจวัดกำลังไฟฟ้าที่ป้อนให้มอเตอร์นานพอสมควร เนื่องจาก บางกระบวนการ โหลดจะเพิ่มขึ้นเป็นบางช่วงเวลา

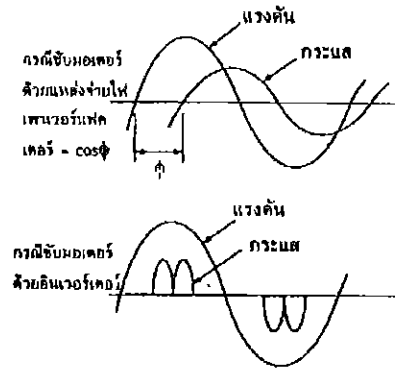
มอเตอร์มีโหลดน้อยกว่าพิกัด จะทำให้ประสิทธิภาพต่ำ และจะทำให้ค่าเพาเวอร์แฟคเตอร์ต่ำด้วย ในกรณีนี้ หากต้องการปรับปรุงเพาเวอร์แฟคเตอร์ (ทำได้โดยการติดตั้งตัวเก็บประจุ (Capacitor)) ก็จะทำให้ค่าเพาเวอร์แฟคเตอร์สูงขึ้น แต่จะไม่ทำให้ประสิทธิภาพของมอเตอร์สูงขึ้นด้วย จึงจำเป็นจะต้องคิดทั้งค่าโหลดและค่าประสิทธิภาพ เมื่อจะทำการประเมินสมรรถภาพของมอเตอร์ ส่วนใหญ่แล้วจะแสดงประสิทธิภาพของปริมาณ โหลดสูงสุดระบุน้ำหนักซึ่งของมอเตอร์

2.6 เพาเวอร์แฟคเตอร์

โดยทั่วไป เพาเวอร์แฟคเตอร์หรือตัวประกอบกำลัง หาได้จากการต่างเฟสระหว่างรูปคลื่นกระแสและแรงดันไฟฟ้า (Displacement Angle, θ) ซึ่งค่าเพาเวอร์แฟคเตอร์นี้ จะเท่ากับ $\cos \theta$ ซึ่งถูกเรียกว่า ตัวประกอบกำลังมูดฐาน (Displacement Power Factor, DPF)

แต่ในกรณีที่รูปคลื่น ไม่เป็นรูปคลื่นชayan และมีองค์ประกอบคลื่นสาร์โนนิกส์อยู่มาก จะไม่สามารถใช้ความต่างเฟสในการหาเพาเวอร์แฟคเตอร์ได้ ถ้าใช้เพาเวอร์แฟคเตอร์มิเตอร์วัดก็จะอ่านค่าได้ประมาณ 1 เท่านอ

ดังนั้น ค่าเพาเวอร์แฟคเตอร์ในกรณีทั่วไป จะหาได้จากอัตราส่วนระหว่างกำลังไฟฟ้าจริง (Active Power, P) ต่อกำลังไฟฟ้าเสมือน (Apparent Power, S)



รูปที่ 2.11 รูปคลื่นของกระแสและแรงดันไฟฟ้า

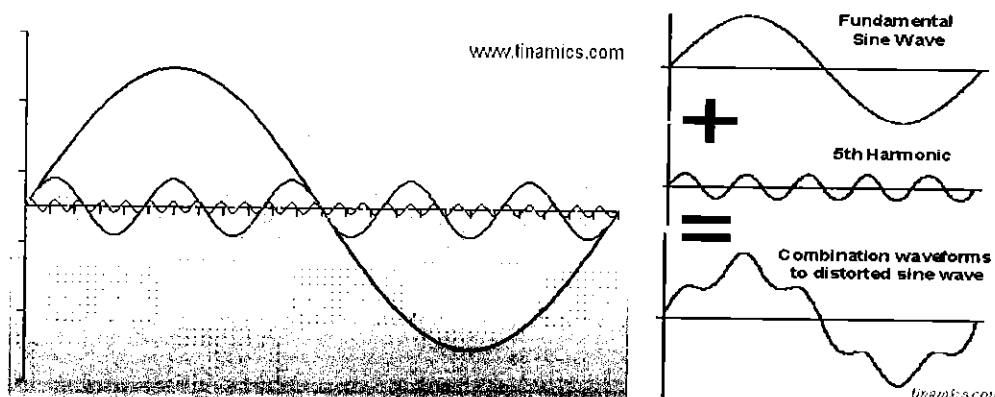
2.6.1 ผลกระทบเนื่องจากเพาเวอร์แฟคเตอร์ต่ำ

ระบบไฟฟ้า (เครื่องกำเนิดไฟฟ้าสายส่งสายบ้านและหม้อแปลง) จะจ่ายกำลังไฟฟ้าจริง และกำลังไฟฟารีแอกทิฟ ถ้าอุปกรณ์ไฟฟ้ามีประสิทธิภาพสูง คือ เพาเวอร์แฟคเตอร์สูง การไฟฟ้าก็สามารถส่งกำลังไฟฟ้าจริงได้มาก แต่ถ้าอุปกรณ์ไฟฟ้าที่ใช้งานมีค่าเพาเวอร์แฟคเตอร์ต่ำ ซึ่งหมายถึง มีความต้องการกำลังไฟฟารีแอกทิฟมากๆ จะเป็นภาระแก่ระบบไฟฟ้า ที่ต้องส่งกำลังไฟฟารีแอกทิฟมากขึ้น โดยไม่สามารถส่งกำลังไฟฟ้าจริงได้อย่างเดิมที่ เกิดการสูญเสียประสิทธิภาพในการผลิตและจ่ายไฟและส่งผลกระทบ ดังนี้

1. เกิดโหลดเกินในหม้อแปลง ระบบไฟฟ้าและอุปกรณ์ไฟฟ้าต่างๆ เช่น เครื่องกำเนิดไฟฟ้า หม้อแปลงและสายไฟฟ้าในระบบไฟฟ้าไม่สามารถจ่ายโหลดได้ตามพิกัด เมื่อจากต้องจ่ายกำลังไฟฟารีแอกทิฟ (VAR) ทำให้การจ่ายกำลังไฟฟ้าจริงลดลง
2. เกิดแรงดันตกในระบบจ่ายไฟฟ้า เมื่อเพาเวอร์แฟคเตอร์ของระบบต่ำลง กระแสไฟฟ้าของระบบจะสูงขึ้น ทำให้แรงดันตกคร่อมในสายไฟของระบบไฟฟ้ามากขึ้น
3. กำลังไฟฟ้าสูญเสียของระบบไฟฟ้าเพิ่มขึ้น เพราะมีการเกิดกำลังสูญเสียในตัวนำไฟฟ้าของระบบไฟฟ้าประคานกำลังสองของกระแสไฟฟ้า
4. กำลังไฟฟ้าสูญเสียในหม้อแปลงจะเพิ่มขึ้น กำลังไฟฟ้าสูญเสีย เนื่องมาจากการกระแสไฟฟ้าผ่านชุดของหม้อแปลงปรตตามกระแสกำลังสอง เมื่อเพาเวอร์แฟคเตอร์ของระบบต่ำลง กระแสที่ไหลผ่านหม้อแปลงเพิ่มขึ้น ทำให้กำลังไฟฟ้าสูญเสียนี้เพิ่มขึ้น

2.7 สาร์โนนิกส์ (Effect of Harmonics)

สาร์โนนิกส์ (Harmonic) คือ ส่วนเกินของสัญญาณที่ไม่เป็นที่ต้องการ เป็นส่วนประกอบ แฟง เข้ามาผสมกับรูปคลื่นสัญญาณชานี (Sine Wave) อาจจะมาในรูปแบบของสัญญาณหรือในรูปแบบของปริมาณช่วงคาบใดๆ ซึ่งมีความถี่เป็นจำนวนเท่าจากความถี่หลักมูลฐาน (Fundamental Frequency) ของระบบไฟฟ้า เช่น ความถี่หลักของระบบไฟฟ้าบ้านเรามีค่าเท่ากับ 50 Hz เป็นลำดับที่ 1 เมื่อมีสาร์โนนิกส์ลำดับที่ 3 มีค่าความถี่เป็น 150 Hz และสาร์โนนิกส์ลำดับที่ 5 มีค่าความถี่เป็น 250 Hz เข้ามาผสมในระบบไฟฟ้าหลัก ทำให้รูปคลื่นเปลี่ยนแปลงไป ดังแสดงรูปที่ 2.12



รูปที่ 2.12 สาร์โนนิกส์แฟงในลำดับต่างๆ เมื่อเปรียบเทียบกับรูปคลื่นความถี่หลักมูลฐาน

หากสถานประกอบการ ติดตั้ง โหลดประเภทไม่เป็นเชิงเส้น (Non-Linear Load) เช่น ตัวปรับความเร็วอุปกรณ์เตอร์เหนี่ยววน慢慢的 (Variable Frequency Drive) ตัวปรับความเร็ว รอบมอเตอร์เหนี่ยววน慢慢的 (DC Drive) UPS ฯลฯ ในวงจรการจ่ายไฟ หรือแหล่งจ่ายไฟเดียวกันกับวงจรการจ่ายไฟที่มอเตอร์นั้นรับไฟอยู่ ถ้าหากมีจำนวนมาก ก็จะทำให้แรงดันเกิดการบิดเบี้ยว ซึ่งจะส่งผลให้แรงดันที่ปรากฏที่ส่วนปลายของมอเตอร์ มีการบิดเบี้ยว (Distortion) ไปด้วย ลักษณะเช่นนี้ ไม่เป็นผลดีต่อมอเตอร์เลย ซึ่งหากค่าการบิดเบี้ยวมาก หรือเรียกอีกอย่างหนึ่งว่า ถ้าเกิดความถี่สาร์โนนิกส์ที่ระบบแรงดัน (System Voltage) มาก จะทำให้ค่าประสิทธิภาพของมอเตอร์มีค่าต่ำ

2.7.1 แหล่งกำเนิดสาร์โนนิกส์

สาร์โนนิกส์ในระบบไฟฟ้าที่เกิดขึ้นโดยทั่วไป มาจากอุปกรณ์ไฟฟ้าที่มีค่าความสัมพันธ์ระหว่างกระแสและแรงดัน ไม่เป็นเชิงเส้น (Nonlinear Current-Voltage Relationship) โดยสามารถแบ่งออกเป็น 3 ประเภท ดังนี้

1. อุปกรณ์อิเล็กทรอนิกส์กำลัง เช่น ไดโอดทรานซีสเตอร์ ไทริสเตอร์ เป็นต้น อุปกรณ์ในประเภทนี้ถูกนำมาใช้งานในวงจรเรียงกระแส วงจรปรับความเร็วของระบบขับเคลื่อน (Adjustable Speed Drive, ASD) แหล่งจ่ายไฟฟ้าสำรองและวงจรอินเวอร์เตอร์ เป็นต้น

2. อุปกรณ์ประเภทแม่เหล็ก ได้แก่ หม้อแปลง เมื่อหม้อแปลงได้รับแรงดันเกินพิกัดจึงส่งผลทำให้กระแสกระตุ้น (Exciting Current) เพิ่มขึ้นอย่างรวดเร็ว เพื่อมาจากการเกิดการอั่มตัวของแกนแม่เหล็ก ถ้าช่วงเวลาดังกล่าว ค่ากระแสไฟฟ้าของโหลดมีค่าต่ำ ก็จะทำให้ชาร์โนมนิกส์ค่าดำเนินสูงเกิดขึ้น

3. อุปกรณ์ประเภทอาร์ก ได้แก่ เตาหลอมแบบอาร์ก เครื่องเชื่อมไฟฟ้าแบบอาร์ก รวมไปถึงหลอดดิสชาร์ทประเภทต่างๆ ซึ่งอุปกรณ์เหล่านี้ มีคุณลักษณะการทำงานพื้นฐาน โดยการอาร์ก โลหะและโลหะด้วยกระแสไฟฟ้า ส่งผลให้เกิดชาร์โนมนิกส์ขณะใช้งาน

2.7.2 ผลกระทบอันเนื่องมาจากชาร์โนมนิกส์

ปัญหาในระบบไฟฟ้าที่เกิดจากชาร์โนมนิกส์ อาจแยกพิจารณาได้ คือ แบบแรกเป็นผลกระทบที่ไม่รุนแรงแต่ทำให้เกิดความสูญเสียในระยะยาว และแบบที่สองเป็นผลกระทบที่รุนแรง อาจทำให้อุปกรณ์ชำรุดเสียหายหรือเกิดระเบิด ได้และบังส่งผลต่อระบบไฟฟ้าในค้านต่างๆ เช่น

- เพิ่มความสูญเสียและลดการนำกระแสในสายส่งและสายป้อน ทำให้ฟิวส์หรือเซอร์กิตเบรกเกอร์ที่ตัดวงจรด้วยความร้อน ทำงานผิดพลาด

- เพิ่มแรงดันต่อกคร่องอินพีเดนซ์ของระบบ ส่งผลทำให้ปลายทางของแรงดันเพิ่มสูงขึ้น แรงดันต่อกคร่องที่เพิ่มขึ้นจะทำให้ความเครียดของฉนวน (Dielectric Stress) สูงขึ้นกว่าปกติทำให้อาชญาการใช้งานสิ้นลง

- กำลังสูญเสียที่ประตามกระแสกำลังส่อง เพิ่มขึ้นในคลื่นของหม้อแปลง

ในระบบไฟฟ้า 3 เฟส เฟสเซอร์ของกระแสชาร์โนมนิกส์อาจมีพิษทางการหมุนที่ต่างจากเฟสเซอร์ของกระแสที่ความถี่หลักมูล โดยต่างกันไปตามลำดับเฟส สามารถแบ่งได้เป็น 3 หมวด คือ ชาร์โนมนิกส์ที่มีลำดับเฟสเป็นบวก ลำดับเฟสเป็นลบ และลำดับเฟสเป็นศูนย์ แสดงดังตารางที่

ห้องสมุดคณะวิศวกรรมศาสตร์ มหาวิทยาลัยนเรศวร

ตารางที่ 2.6 อัันดับหาร์โนมิ尼克ส์และลำดับเฟสต่างๆ

อาร์โนมิ尼克ส์	ความถี่ (Hz)	ลำดับเฟส
1	50	+
2	100	-
3	150	0
4	200	+
5	250	-
6	300	0
7	350	+
8	400	-
9	450	0

2.7.3 การประเมินค่าความเพี้ยนอาร์โนมิ尼克ส์ (Harmonic Distortion Evaluation)

ในกรณีที่มีหาร์โนมิ尼克ส์ปรากฏในวงจรหรือระบบ จะมีกำลังไฟฟ้าอึกประเภทหนึ่งเพิ่มขึ้นมาจากการเดิม เรียกว่า กำลังไฟฟ้าความเพี้ยน (Distortion Power, D) ซึ่งเป็นผลโดยตรงจากหาร์โนมิ尼克ส์ มีหน่วยเป็น VA (Volt-Ampere) เป็นกำลังไฟฟ้าที่ไม่เป็นประโยชน์ต่ออุปกรณ์ไฟฟ้า แต่ไม่ใช่ส่วนของค่ากำลังไฟฟ้ารีแอคทีฟ (Reactive Power; Q)

การประเมินค่าความเพี้ยนหาร์โนมิ尼克ส์ตามมาตรฐาน IEEE 519-1992 มีดังนี้

1. จุดจำกัดกระแสเพี้ยน (Current Distortion Limits) เป็นการใช้จุดจำกัดของกระแสหาร์โนมิ尼克ส์ ที่ผู้ใช้สามารถส่งกลับเข้าไปในระบบไฟฟ้าได้ โดยดัชนีที่ใช้กำหนดจุดจำกัดกระแสเพี้ยน คือ (Total Harmonic Distortion of Current, THDc) หมายถึง ความเพี้ยนของกระแสหาร์โนมิ尼克ส์มีค่าเป็นเบอร์เซ็นต์ของความต้องการกระแสไฟฟ้าสูงสุด แสดงในตารางที่ 2.7

15740551

2/5

๘/๗๓๗
๒๕๕๓

ตารางที่ 2.7 ขีดจำกัดกระแสอาร์โนนิกส์สำหรับระบบจำหน่ายไฟฟ้า (แรงดัน 120 V- 69 kV)

I_{SC}/I_{Load}	กระแสอาร์โนนิกส์สูงสุดเป็น I_{SC}/I_{Load} เปรียร์เซ็นต์ของ I_{Load} ในแต่ละลำดับคี่					
	<11	11-15	17-21	23-33	>34	TDD
<20	4.0	2.0	1.5	0.6	0.3	5.0
20-50	7.0	3.5	2.5	1.0	0.5	8.0
50-100	10.0	4.5	4.0	1.5	0.7	12.0
100-1,000	12.0	5.5	5.0	2.0	1.0	15.0
>1,000	15.0	7.0	6.0	2.5	1.4	20.0

โดยที่ I_{sc} คือ กระแสลัดวงจร

I_{Load} คือ ความต้องการกระแสไฟลัดสูงสุด (ส่วนประกอบที่ความถี่หลักมุก)

หมายเหตุ ค่าขีดจำกัดของกระแสอาร์โนนิกส์ลำดับคู่ ใช้ค่าร้อยละ 25 ของลำดับคี่

2. ขีดจำกัดแรงดันเพี้ยน (Voltage Distortion Limits) เป็นการตรวจสอบกระแสอาร์โนนิกส์ที่ส่งกลับเข้าระบบไฟฟ้า เพื่อให้แน่ใจว่ากระแสไฟฟ้านั้น ไม่เป็นต้นเหตุที่ทำให้แรงดันมีความเพี้ยนสูงเกินขีดจำกัดตาม ที่ระบุในตารางที่ 2.8 ดังนี้ที่ใช้กำหนดขีดจำกัดแรงดันเพี้ยน คือ ความเพี้ยนของแรงดันหาร์โนนิกส์รวม (Total Harmonic Distortion of Voltage; THDv) ซึ่งจะมีค่าเป็นเปอร์เซ็นต์ของแรงดันที่ระบุความถี่หลักมุก

ตารางที่ 2.8 ค่าขีดจำกัดของแรงดันหาร์โนนิกส์

ระดับแรงดัน (kV)	ขีดจำกัดแรงดันหาร์โนนิกส์ แต่ละลำดับ (%)	ขีดจำกัดแรงดันหาร์โนนิกส์รวม (%THDv)
$V_n \leq 69$	3.0	5.0
$69 < V_n \leq 161$	1.5	2.5
$V_n > 161$	1.0	1.5

โดยที่ V_n คือ ระดับแรงดันไฟฟ้า (V_{rms})

บทที่ 3

การออกแบบการทดลอง

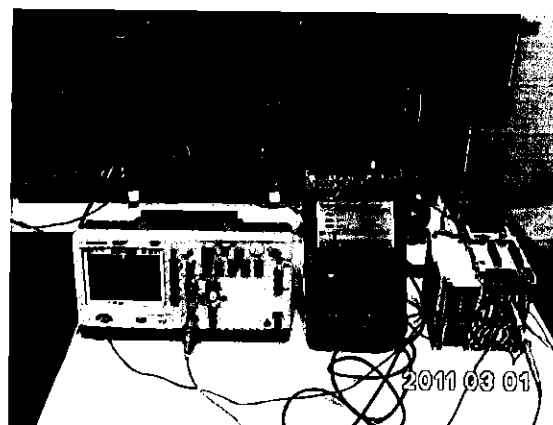
3.1 การออกแบบการทดลอง

การวัดค่าพารามิเตอร์ในขณะที่มอเตอร์เห็นช่วงทำงาน ในสภาพที่ไม่มีโหลดและมีโหลด (ใช้วิธีการปรับค่าทอร์ค) ระหว่าง 10% ถึง 100% และปรับความถี่ของอินเวอร์เตอร์ 30 Hz ถึง 60 Hz แล้วทำการบันทึกรูปภาพ โดยที่รูปภาพที่ปรากฏบนจอภาพของอสซิลโลสโคปจะเป็นรูปคลื่นของกระแส สามารถออกแบบการทดลองได้ดังนี้

1. ทำการทดลองเพื่อตรวจสอบอินเวอร์เตอร์ โดยจ่ายไฟให้กับอินเวอร์เตอร์และบันทึกสัญญาณรูปคลื่นแรงดันจากอสซิลโลสโคป

2. ในสภาพที่มีโหลด

2.1 ทำการทดลองต่อวงจร และหาค่าทอร์คที่มีโหลด 100% โดยการปรับค่าทอร์คเพิ่มขึ้นเรื่อยๆ (ปรับค่าทอร์คที่เครื่อง Electrodynamometer) จนค่ากระแสมีค่าเท่ากับ 0.65 A (ค่ากระแสที่เครื่อง Power & Harmonics Analyzer) ซึ่งมีการต่อวงจรดังรูปที่ 3.1



รูปที่ 3.1 วงจรการทดลองในสภาพที่มีโหลด



รูปที่ 3.2 imotoร์เหนี่ยววน้ำ 3 เฟส ต่อกับมอเตอร์ที่ใช้หลักการของสนามแม่เหล็กไฟฟ้า
(Electrodynamometer)

2.2 นำค่าทอร์คที่โหลด 100% ที่ได้จากการทดลองในข้อที่ 2.1 มาคำนวณค่าทอร์คที่โหลดขนาดระหว่าง 10% ถึง 100%

2.3 ปรับความถี่ของอินเวอร์เตอร์ที่ 30 Hz จากนั้น นำค่าทอร์คที่คำนวณได้จากข้อ 2.2 มาปรับค่าระหว่าง 10% ถึง 100% แล้วทำการบันทึกค่ากระแสไฟฟ้าของมอเตอร์, ค่าความเร็วรอบของมอเตอร์, ค่าเพาเวอร์แฟกเตอร์และค่ากระแสอาร์โนนิกส์ของมอเตอร์ โดยทำการบันทึกทุกครั้งที่มีการเปลี่ยนแปลงโหลด ทำแบบเดียวกันนี้ที่ความถี่ 40 Hz, 50 Hz และ 60 Hz

2.5 คำนวณหาค่าแรงดันขาเข้าและแรงดันขาออกของมอเตอร์ ที่มีโหลดระหว่าง 10% ถึง 100% ของทุกๆ ความถี่ ดังนี้

$$\text{แรงดันขาเข้า} \quad P_{in} = \sqrt{3}V_L I_L \cos \theta \quad (3.1)$$

$$\text{แรงดันขาออก} \quad P_{out} = \tau \omega_m \quad (3.2)$$

$$\text{โดยที่} \quad \omega_m = \frac{2\pi n_m}{60} \quad (3.3)$$

$$\text{จะได้} \quad P_{out} = \frac{2\pi \tau n_m}{60} \quad (3.4)$$

เมื่อ τ คือ แรงบิดของมอเตอร์

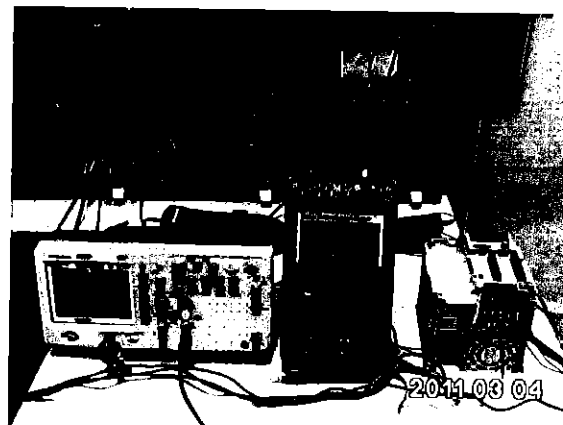
n_m คือ ความเร็วรอบของมอเตอร์

2.6 คำนวณหาค่าประสิทธิภาพของมอเตอร์ ที่มีโหลดระหว่าง 10% ถึง 100% ของทุกๆ ความถี่ ดังนี้

$$\text{ประสิทธิภาพ} \quad \% \eta = \frac{P_{out}}{P_{in}} \times 100\% \quad (3.6)$$

3. ในสภาวะที่ไม่มีโหลด

3.1 ทำการต่อวงจรดังรูปที่ 3.3



รูปที่ 3.3 การต่อวงจรในสภาวะไม่มีโหลด

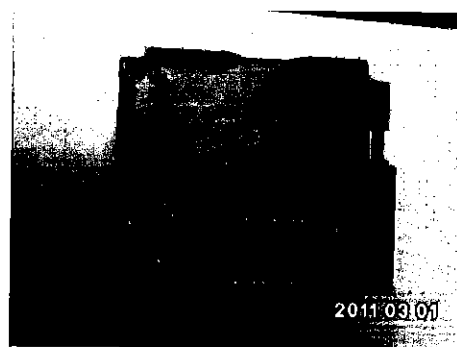
3.2 ปรับค่าความถี่ของอินเวอร์เตอร์ไปที่ค่า 30 Hz แล้วทำการบันทึกค่ากระแสไฟฟ้าของมอเตอร์ ค่าความเร็วรอบของมอเตอร์ ค่าเพาเวอร์แฟคเตอร์และค่ากระแสยาาร์โนนิกส์ของมอเตอร์ ทำแบบเดียวกันนี้ที่ความถี่ 40 Hz, 50 Hz และ 60 Hz

3.2 ขั้นตอนและวิธีการทดลอง

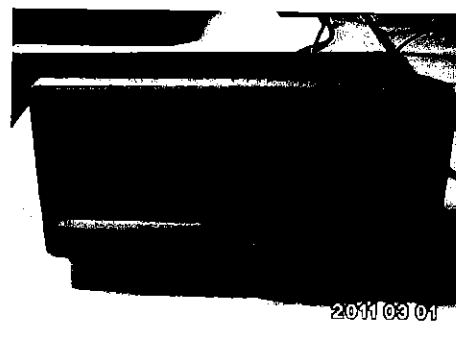
1. ศึกษาการทดสอบมอเตอร์แบบมีโหลดและแบบไม่มีโหลด และศึกษาการทดสอบอินเวอร์เตอร์
2. ศึกษาสมการหาค่า τ_{load} และค่าเพาเวอร์แฟคเตอร์โดยการรวมรวมข้อมูลจากหนังสือต่างๆ เพื่อทำการหาค่า τ_{load} และค่าเพาเวอร์แฟคเตอร์ของมอเตอร์ที่ต่อโหลดต่างๆ
3. ออกแบบการต่อวงจรในการทดลองและศึกษาอุปกรณ์ที่ใช้
4. ต่อวงจรการทดลองเพื่อทดสอบอินเวอร์เตอร์
5. ทำการต่อวงจรการทดลองตามรูปที่ 3.1 เพื่อทำการทดสอบมอเตอร์ในสภาวะที่มีโหลดระหว่าง 10% ถึง 100% โดยปรับค่าความถี่ของอินเวอร์เตอร์ไปที่ 30 Hz แล้วบันทึกค่าพารามิเตอร์ต่างๆ ที่ต้องการ พร้อมทั้งบันทึกกราฟคลื่นของกระแสจากอสซิลโลสโคปด้วย

6. ทำการทดลองลักษณะเดียวกันกับข้อ 5 แต่เปลี่ยนแปลงค่าความถี่ของอินเวอร์เตอร์เป็น 40 Hz, 50 Hz และ 60 Hz ตามลำดับและทำการบันทึกค่าเช่นเดียวกับข้อที่ 5
7. ต่อวงจรการทดลองลักษณะเดียวกันกับรูปที่ 3.3 เพื่อทำการทดสอบมอเตอร์ในสภาวะที่ไม่มีโหลด โดยปรับค่าความถี่ของอินเวอร์เตอร์ไปที่ค่า 30 Hz แล้วบันทึกค่าพารามิเตอร์ต่างๆ ที่ต้องการพร้อมทั้งบันทึกกราฟคลื่นของกระแสจากออกอสซิลโลสโคปด้วย
8. ทำการทดลองลักษณะเดียวกันกับข้อ 7 แต่เปลี่ยนแปลงค่าความถี่ของอินเวอร์เตอร์เป็น 40 Hz, 50 Hz และ 60 Hz ตามลำดับและทำการบันทึกค่าเช่นเดียวกับข้อที่ 7
9. รวบรวมข้อมูลค่าพารามิเตอร์ต่างๆ และกราฟของกระแสที่ได้ แล้วนำมาวิเคราะห์ผลในส่วนของการทดลองจะมีการต่อวงจร โดยใช้อุปกรณ์ดังนี้
 1. ชุดแหล่งจ่ายไฟฟ้ากระแสสลับ 380 V
 2. ชุดแหล่งจ่ายไฟฟ้ากระแสตรง 220 V
 3. อิเล็กโทร డიนาโนมิเตอร์
 4. ชุดสายไฟ
 5. มอเตอร์เนนิยวน้ำ 3 เฟส
 6. อินเวอร์เตอร์
 7. เครื่องวัดกำลังไฟฟ้า
 8. ออสซิลโลสโคป
 9. เครื่องวัดความเร็วรอบ
 10. เครื่องวัดกระแส (ต่อ กับ ออสซิลโลสโคป)

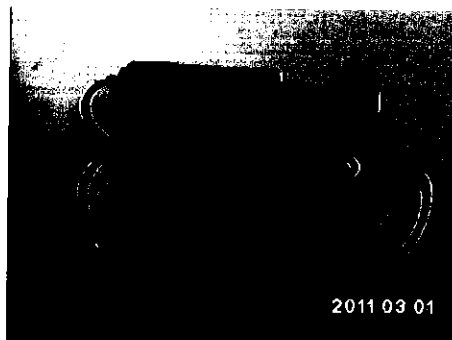
อุปกรณ์



รูปที่ 3.4 อินเวอร์เตอร์



รูปที่ 3.5 ออสซิลโลสโคป



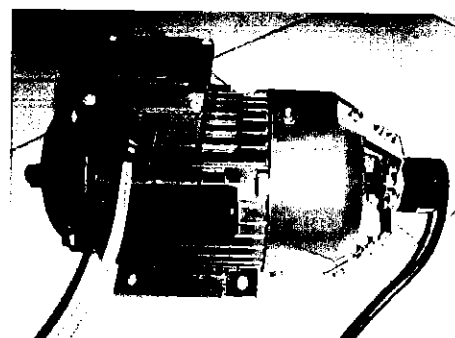
รูปที่ 3.6 เครื่องวัดกระแส (ต่อ กับ ออสซิลโลสโคป)



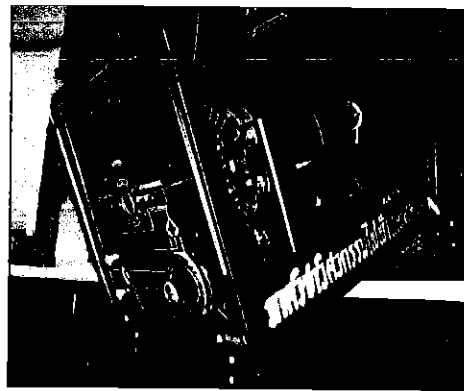
รูปที่ 3.7 เครื่องวัดความเร็วรอบ



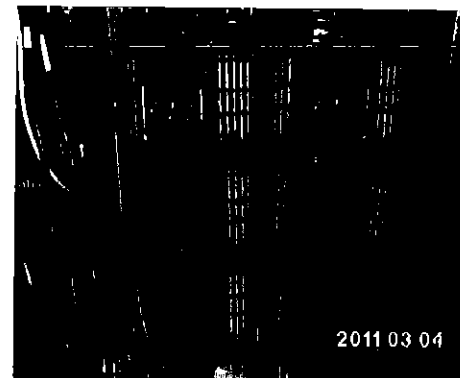
รูปที่ 3.8 Power & Harmonics Analyzer



รูปที่ 3.9 มอเตอร์หนึ่งฟаз สามเฟส

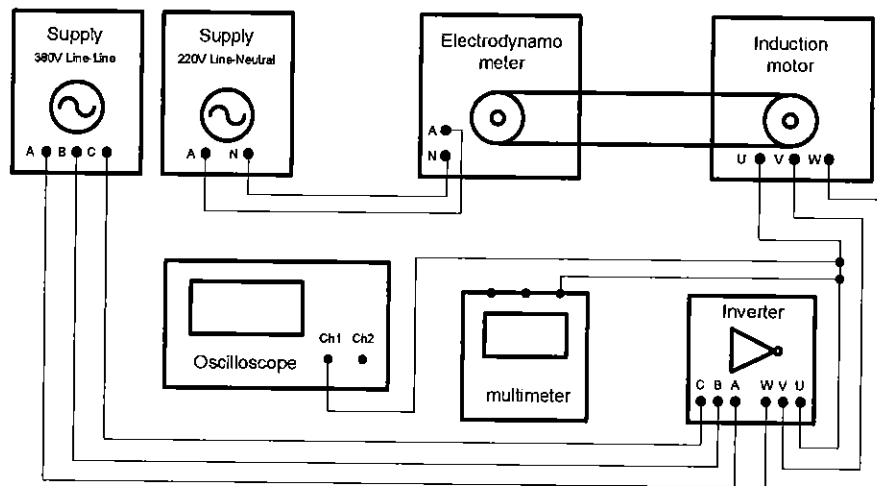


รูปที่ 3.10 Electrodynamometer



รูปที่ 3.11 แหล่งจ่ายไฟ 3 เฟส

จากบทที่ 3 สามารถเขียนแผนภาพการทำงานของอุปกรณ์ในการทดสอบได้ ดังนี้



รูปที่ 3.12 แผนภาพวงจรรวมในการทดสอบ

บทที่ 4

ผลการทดลอง

การทดสอบมอเตอร์เห็นี่ยวน้ำจะมีพารามิเตอร์ที่สำคัญที่ต้องนำมาประกอบในการวิเคราะห์โดยใช้การหาค่าพารามิเตอร์ของมอเตอร์เห็นี่ยวน้ำและ T_{load} ในสภาวะโหลดขนาดต่างๆ นำค่าที่วัดได้จากการทดลองมาวิเคราะห์เพื่อหาค่าหาค่ากระแสของ T_{load} ขณะ starters ของมอเตอร์ต่อแบบ Y ขณะต่อโหลดขนาดต่างๆ และหาค่าเพาเวอร์แฟลกเตอร์ช่วงขณะ starters ต่อโหลดขนาดต่างๆ มาเปรียบเทียบและวิเคราะห์ผล

ผลการทดลองที่ได้จากการทำโครงการนี้จะแบ่งออกเป็น 8 ส่วน คือ

4.1 ทดสอบการการทำงานของอินเวอร์เตอร์ในความถี่ 20 Hz ถึง 60 Hz

4.2 ผลจากการทดสอบมอเตอร์เพื่อหากระแสของมอเตอร์ในความถี่ 20 Hz ถึง 60 Hz ในสภาวะที่ไม่มีโหลด

4.3 ผลจากการทดสอบมอเตอร์เพื่อหากระแสของมอเตอร์ในความถี่ 30 Hz ถึง 60 Hz ในสภาวะที่โหลดมีการเปลี่ยนแปลง

4.4 ประสิทธิภาพของมอเตอร์เห็นี่ยวน้ำ 3 เฟส

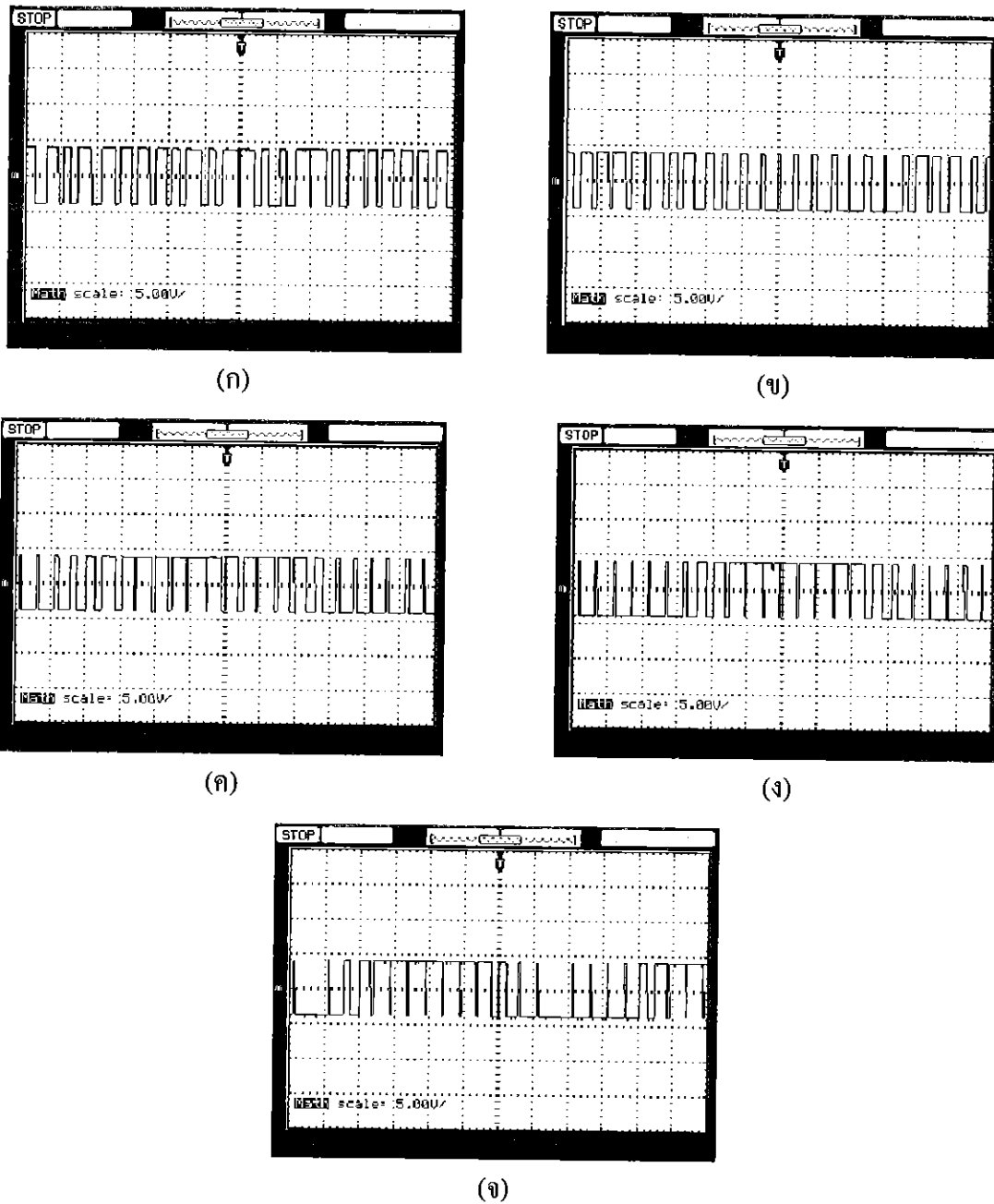
4.5 กระแสสาร์โนนิกส์

4.6 ผลจากการทดลองเพื่อหา T_{load} ในสภาวะโหลดขนาดต่างๆ

4.7 ความเร็วรอบของมอเตอร์ที่วัดได้จากการทดลอง ในสภาวะโหลดขนาดต่างๆ

4.8 การเปรียบเทียบผลการทดลองและวิเคราะห์ผลการทดลอง

4.1 ทดสอบการทำงานของอินเวอร์เตอร์ในความถี่ต่างๆ

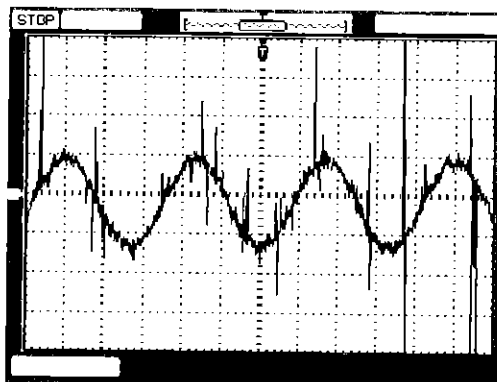


รูปที่ 4.1 (ก) รูปคลื่นสัญญาณของอินเวอร์เตอร์ 3 เฟสแบบ PWM ที่ความถี่ 20 Hz
 (บ) รูปคลื่นสัญญาณของอินเวอร์เตอร์ 3 เฟสแบบ PWM ที่ความถี่ 30 Hz
 (ค) รูปคลื่นสัญญาณของอินเวอร์เตอร์ 3 เฟสแบบ PWM ที่ความถี่ 40 Hz
 (ດ) รูปคลื่นสัญญาณของอินเวอร์เตอร์ 3 เฟสแบบ PWM ที่ความถี่ 50 Hz
 (ຈ) รูปคลื่นสัญญาณของอินเวอร์เตอร์ 3 เฟสแบบ PWM ที่ความถี่ 60 Hz

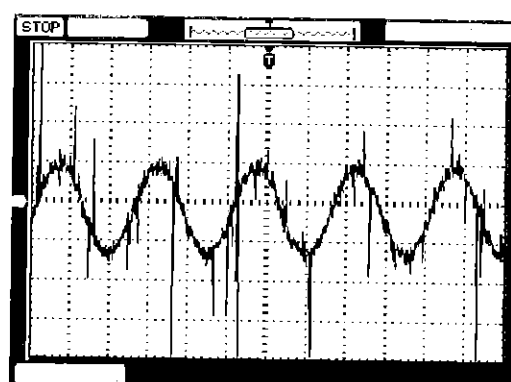
4.2 ทดสอบมอเตอร์เพื่อหากระแสของมอเตอร์แบบไม่มีโหลด

ตารางที่ 4.1 ค่าพารามิเตอร์ที่วัดได้จากมอเตอร์เห็นยาน้ำที่สภาวะไม่มีโหลด

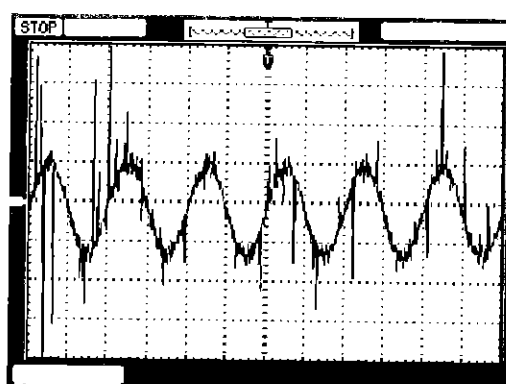
ความถี่ (Hz)	กระแส (A)	ทอร์ค (N)	ความเร็วรอบ (rpm)	เพาเวอร์แฟลกเกตอร์
20	0.462	0	571	0.326
30	0.488	0	870	0.226
40	0.517	0	1,172	0.146
50	0.528	0	1,478	0.126
60	0.532	0	1,761	0.123



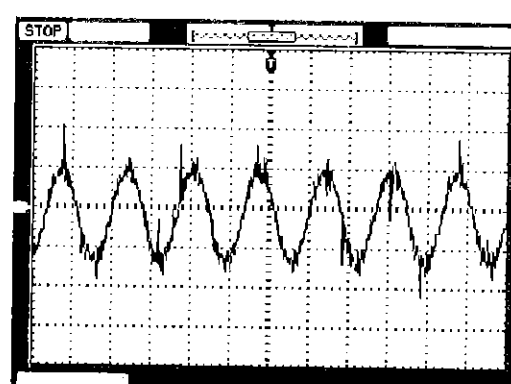
(ก)



(ข)



(ก)



(ก)

รูปที่ 4.2 (ก) กราฟกระแสที่ความถี่ 30 Hz ในสภาวะโหลด 0%

(ข) กราฟกระแสที่ความถี่ 40 Hz ในสภาวะโหลด 0%

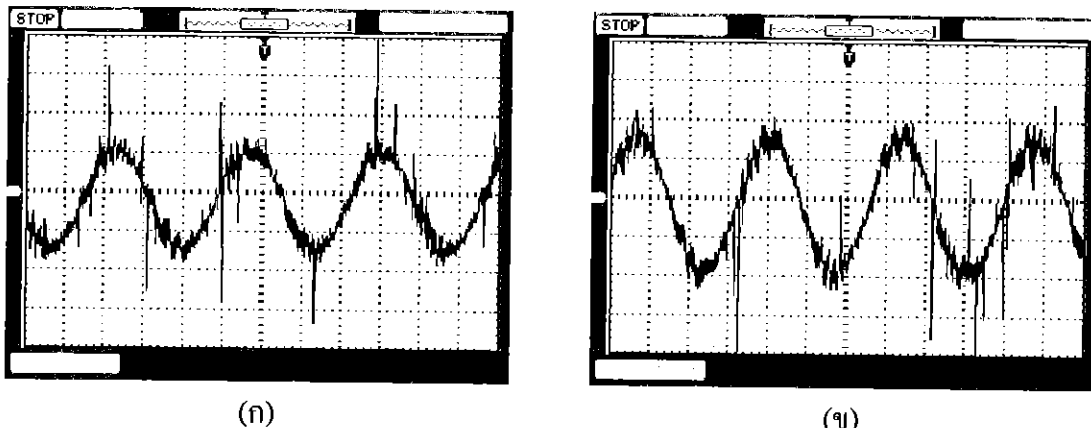
(ก) กราฟกระแสที่ความถี่ 50 Hz ในสภาวะโหลด 0%

(ก) กราฟกระแสที่ความถี่ 60 Hz ในสภาวะโหลด 0%

4.3 ทดสอบมอเตอร์เพื่อหาระยะของมอเตอร์แบบมีโหลด

ตารางที่ 4.2 ค่าพารามิเตอร์ที่วัดได้จากมอเตอร์หนึ่งยาน้ำที่โหลด 10% - 100% ความถี่ 30 Hz

ความถี่ (Hz)	โหลด (%)	กระแส (A)	ทอร์ค (N)	ความเร็วรอบ (rpm)	เพนเวอร์เฟกเตอร์
30	10	0.441	0.083	855	0.136
	20	0.457	0.166	838	0.206
	30	0.482	0.249	823	0.200
	40	0.504	0.332	807	0.200
	50	0.523	0.415	789	0.240
	60	0.564	0.498	766	0.280
	70	0.595	0.598	736	0.296
	80	0.612	0.664	710	0.280
	90	0.624	0.747	683	0.283
	100	0.645	0.830	661	0.346



(ก)

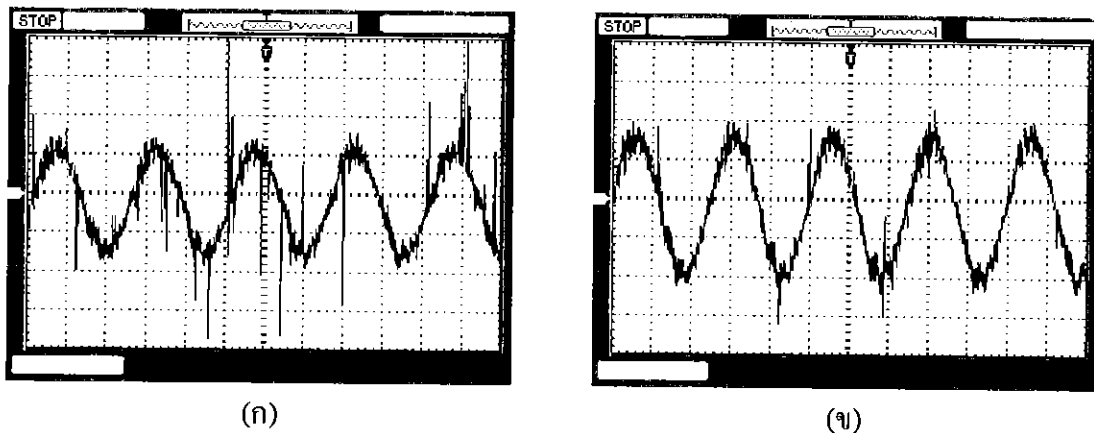
(u)

รูปที่ 4.3 (ก) กราฟกระแสที่ความถี่ 30 Hz ในสภาวะโหลด 50%

(u) กราฟกระแสที่ความถี่ 30 Hz ในสภาวะโหลด 100%

ตารางที่ 4.3 ค่าพารามิเตอร์ที่ได้จากการทดสอบเหนี่ยวนำที่โหลด 10% - 100% ความถี่ 40 Hz

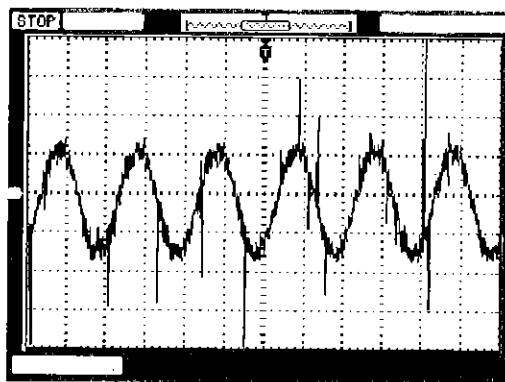
ความถี่ (Hz)	โหลด (%)	กระแส (A)	ทอร์ค (N)	ความเร็วรอบ (rpm)	เพนเวอร์แฟคเตอร์
40	10	0.491	0.076	1,153	0.150
	20	0.504	0.152	1,140	0.193
	30	0.514	0.228	1,123	0.206
	40	0.532	0.304	1,111	0.236
	50	0.543	0.380	1,097	0.233
	60	0.563	0.456	1,077	0.310
	70	0.574	0.532	1,061	0.306
	80	0.596	0.608	1,041	0.373
	90	0.627	0.684	1,021	0.383
	100	0.647	0.760	1,003	0.416



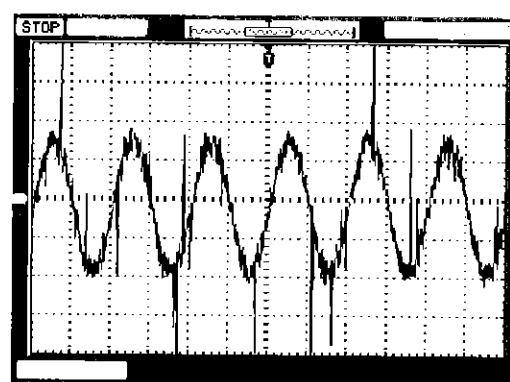
รูปที่ 4.4 (ก) กราฟกระแสที่ความถี่ 40 Hz ในสภาวะโหลด 50%
(ข) กราฟกระแสที่ความถี่ 40 Hz ในสภาวะโหลด 100%

ตารางที่ 4.4 ค่าพารามิเตอร์ที่วัดได้จากมอเตอร์เหนี่ยวนำที่โหลด 10% - 100% ความถี่ 50 Hz

ความถี่ (Hz)	โหลด (%)	กระแส (A)	ทอร์ค (N)	ความเร็วรอบ (rpm)	เพาเวอร์แฟคเตอร์
50	10	0.495	0.070	1,453	0.176
	20	0.513	0.140	1,442	0.216
	30	0.536	0.210	1,430	0.263
	40	0.554	0.280	1,415	0.300
	50	0.569	0.350	1,401	0.283
	60	0.581	0.420	1,388	0.310
	70	0.593	0.490	1,364	0.340
	80	0.604	0.560	1,353	0.416
	90	0.625	0.630	1,334	0.456
	100	0.647	0.700	1,326	0.446



(ก)



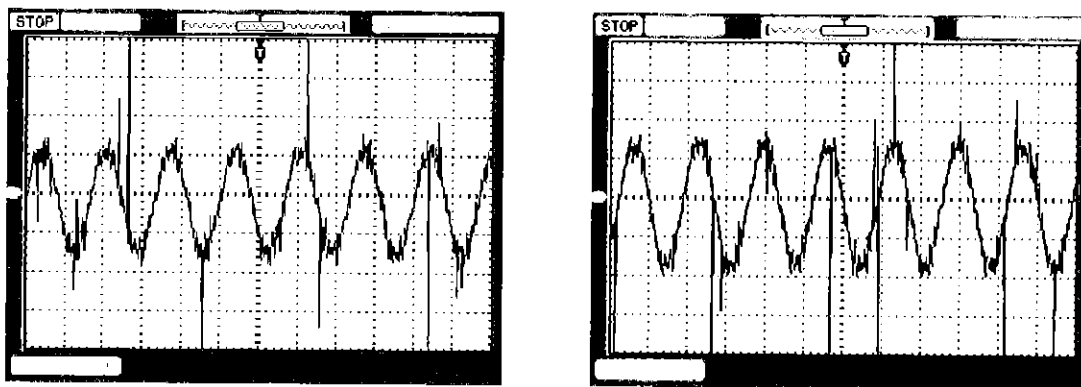
(ห)

รูปที่ 4.5 (ก) กราฟกระแสที่ความถี่ 50 Hz ในสภาวะโหลด 50%

(ห) กราฟกระแสที่ความถี่ 50 Hz ในสภาวะโหลด 100%

ตารางที่ 4.5 ค่าพารามิเตอร์ที่วัดได้จากมอเตอร์เหนี่ยวนำที่โหลด 10% - 100% ความถี่ 60 Hz

ความถี่ (Hz)	โหลด (%)	กระแส (A)	ทอร์ค (N)	ความเร็วรอบ (rpm)	เพาเวอร์แฟลกเตอร์
60	10	0.496	0.074	1,757	0.260
	20	0.502	0.148	1,744	0.343
	30	0.517	0.222	1,734	0.253
	40	0.528	0.296	1,719	0.346
	50	0.540	0.370	1,702	0.386
	60	0.581	0.444	1,676	0.446
	70	0.603	0.518	1,674	0.393
	80	0.614	0.592	1,655	0.463
	90	0.624	0.666	1,639	0.460
	100	0.646	0.740	1,631	0.450



รูปที่ 4.6 (ก) กราฟกระแสที่ความถี่ 60 Hz ในสภาวะโหลด 50%
 (ข) กราฟกระแสที่ความถี่ 60 Hz ในสภาวะโหลด 100%

4.4 ประสิทธิภาพของมอเตอร์เหนี่ยวน้ำ 3 เฟส

ตารางที่ 4.6 ประสิทธิภาพของมอเตอร์เหนี่ยวน้ำ 3 เฟส โดยมีความถี่ 30 Hz

ความถี่ (Hz)	โหลด (%)	P_{in} (W)	P_{out} (W)	ประสิทธิภาพ (%)
30	10	39.667	7.431	18.732
	20	62.161	14.572	23.442
	30	63.490	21.458	33.797
	40	66.430	28.054	42.231
	50	82.665	34.286	41.476
	60	104.059	39.944	38.386
	70	116.306	46.067	39.608
	80	112.844	49.390	43.769
	90	116.226	53.453	45.991
	100	147.241	57.423	39.000

ตารางที่ 4.7 ประสิทธิภาพของมอเตอร์เหนี่ยวนำ 3 เฟส โดยมีความถี่ 40 Hz

ความถี่ (Hz)	โหลด (%)	P_{in} (W)	P_{out} (W)	ประสิทธิภาพ (%)
40	10	48.572	9.180	18.899
	20	64.258	18.137	28.225
	30	69.914	26.800	38.332
	40	83.023	35.351	42.579
	50	83.542	43.631	52.227
	60	115.073	51.403	44.670
	70	116.056	59.079	50.906
	80	146.445	66.246	45.236
	90	158.441	73.095	46.134
	100	177.429	79.785	44.967

ตารางที่ 4.8 ประสิทธิภาพของมอเตอร์เหนี่ยวนำ 3 เฟสโดยมีความถี่ 50 Hz

ความถี่ (Hz)	โหลด (%)	P_{in} (W)	P_{out} (W)	ประสิทธิภาพ (%)
50	10	57.665	10.653	18.474
	20	73.410	21.130	28.784
	30	92.780	31.431	33.878
	40	109.386	41.498	37.937
	50	105.982	51.323	48.427
	60	118.541	61.016	51.473
	70	132.698	69.955	52.717
	80	165.769	79.362	47.875
	90	187.987	87.964	46.793
	100	190.640	97.225	50.999

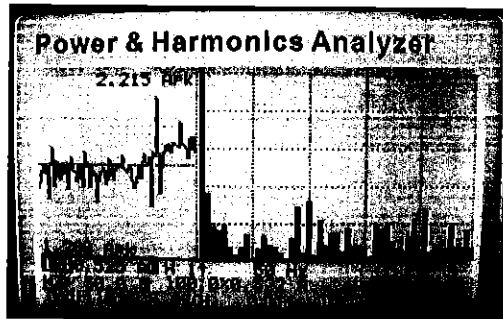
ตารางที่ 4.9 ประสิทธิภาพของมอเตอร์เห็นี่ขันสำหรับมอเตอร์มีความถี่ 60 Hz

ความถี่ (Hz)	โหลด (%)	P_{in} (W)	P_{out} (W)	ประสิทธิภาพ (%)
60	10	84.876	13.616	16.043
	20	113.552	27.016	23.792
	30	86.088	40.291	46.802
	40	120.585	53.288	44.191
	50	137.797	65.952	47.861
	60	170.929	77.887	45.567
	70	155.970	90.760	58.191
	80	186.699	102.548	54.927
	90	189.221	114.251	60.380
	100	191.327	126.326	66.026

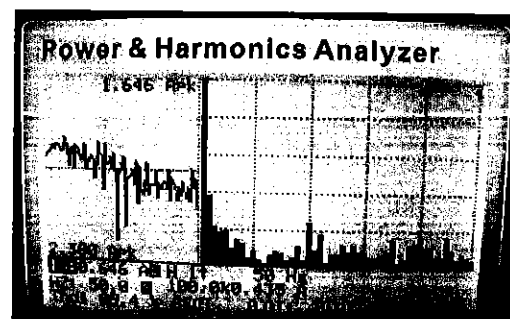
4.5 กระแสสาร์โนนิคส์

ตารางที่ 4.10 กระแสสาร์โนนิคส์ที่โหลดระหว่าง 10% - 100% โดยมีความถี่ 30 Hz

ความถี่ (Hz)	โหลด (%)	กระแส (A)	กระแสสาร์โนนิคส์รวม (%)
30	10	0.441	154.4
	20	0.457	164.7
	30	0.482	135.1
	40	0.505	122.3
	50	0.523	102.6
	60	0.565	83.0
	70	0.596	87.2
	80	0.612	102.8
	90	0.624	109.9
	100	0.645	85.0



(ก)



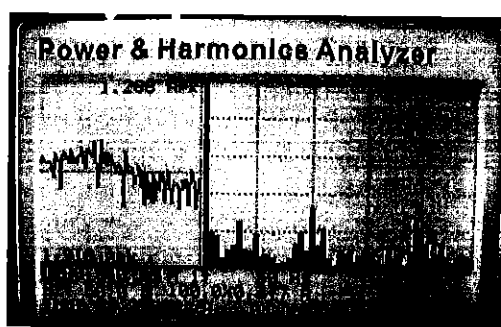
(ข)

รูปที่ 4.7 (ก) กราฟสาร์โนนิคส์ที่ความถี่ 30 Hz ในสภาวะโหลด 50%

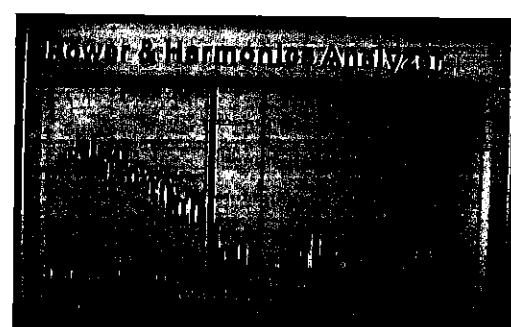
(ข) กราฟสาร์โนนิคส์ที่ความถี่ 30 Hz ในสภาวะโหลด 100%

ตารางที่ 4.11 กระแสอาร์โมนิกส์ที่โหลดระหว่าง 10% - 100% โดยมีความถี่ 40 Hz

ความถี่ (Hz)	โหลด (%)	กระแส (A)	กระแสอาร์โมนิกส์รวม (%)
40	10	0.492	114.5
	20	0.505	117.0
	30	0.514	91.2
	40	0.533	78.3
	50	0.544	94.5
	60	0.564	85.0
	70	0.575	84.2
	80	0.596	78.2
	90	0.628	71.6
	100	0.647	75.9



(ก)



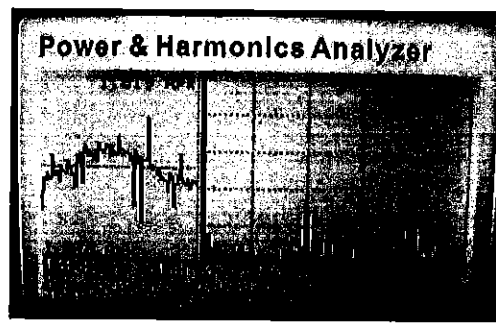
(ข)

รูปที่ 4.8 (ก) กราฟอาร์โมนิกส์ที่ความถี่ 40 Hz ในสภาวะโหลด 50%

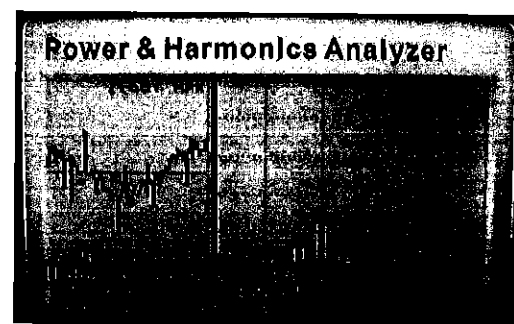
(ข) กราฟอาร์โมนิกส์ที่ความถี่ 40 Hz ในสภาวะโหลด 100%

ตารางที่ 4.12 กระแสหาร์โมนิกส์ที่โหลดระหว่าง 10% - 100% โดยมีความถี่ 50 Hz

ความถี่ (Hz)	โหลด (%)	กระแส (A)	กระแสหาร์โมนิกส์รวม (%)
50	10	0.495	87.6
	20	0.514	79.8
	30	0.536	58.6
	40	0.554	89.8
	50	0.569	73.0
	60	0.581	85.4
	70	0.593	80.6
	80	0.604	78.3
	90	0.625	71.6
	100	0.648	62.5



(ก)



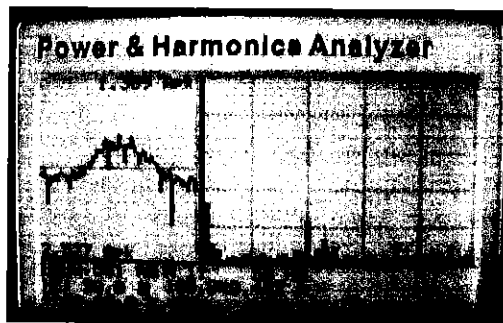
(ข)

รูปที่ 4.9 (ก) กราฟหาร์โมนิกส์ที่ความถี่ 50 Hz ในสภาวะโหลด 50%

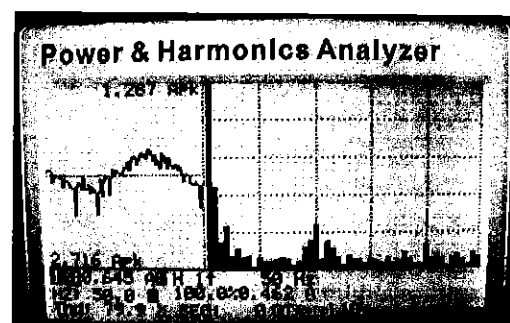
(ข) กราฟหาร์โมนิกส์ที่ความถี่ 50 Hz ในสภาวะโหลด 100%

ตารางที่ 4.13 กระแสอาร์โนนิกส์ที่โหลดระหว่าง 10% - 100% โดยมีความถี่ 60 Hz

ความถี่ (Hz)	โหลด (%)	กระแส (A)	กระแสอาร์โนนิกส์รวม (%)
60	10	0.496	77.2
	20	0.503	77.5
	30	0.517	75.9
	40	0.528	73.2
	50	0.541	63.2
	60	0.581	63.1
	70	0.603	66.7
	80	0.614	61.7
	90	0.625	55.8
	100	0.646	64.8



(ก)



(ข)

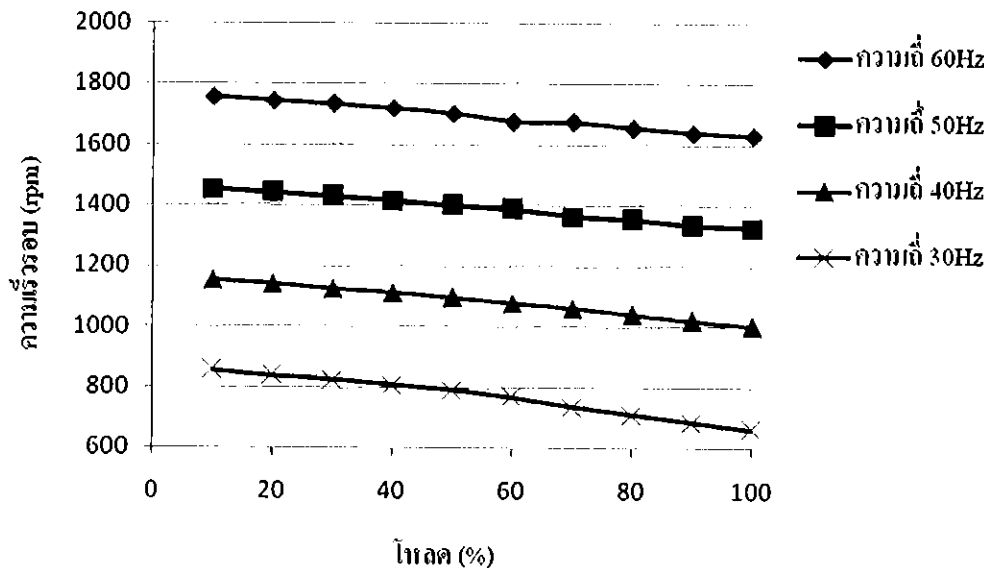
รูปที่ 4.10 (ก) กราฟอาร์โนนิกส์ที่ความถี่ 60 Hz ในสภาวะโหลด 50%

(ข) กราฟอาร์โนนิกส์ที่ความถี่ 60 Hz ในสภาวะโหลด 100%

4.6 การเปรียบเทียบผลการทดลองและวิเคราะห์ผลการทดลอง

4.6.1 การเปรียบเทียบความถี่ที่มีความสัมพันธ์ระหว่างเบอร์เซ็นต์ໂ荷ลดกับความเร็วรอบ

จากการทดลอง สามารถนำค่าความเร็วรอบของมอเตอร์ที่ความถี่ระหว่าง 30 Hz ถึง 60 Hz มาเปรียบเทียบกับค่าเบอร์เซ็นต์ໂ荷ลด พิจารณาได้ดังรูปที่ 4.11



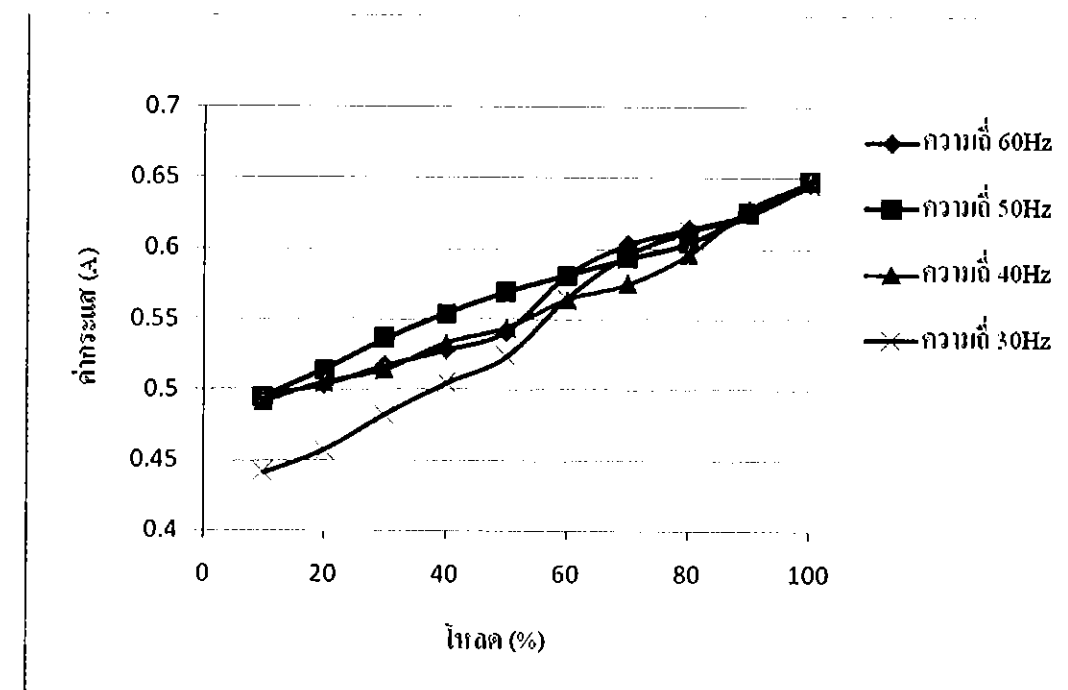
รูปที่ 4.11 แผนภูมิแสดงความเร็วรอบของมอเตอร์ที่ໂโหลดขนาดต่างๆ

จากรูปที่ 4.11 พบว่า เมื่อมีการเปลี่ยนแปลงความถี่มีค่าสูงขึ้น ส่งผลให้ค่าความเร็วรอบของมอเตอร์เพิ่มสูงขึ้น โดยในขณะที่ໂโหลดเต็มพิกัด ความเร็วรอบจะมีค่าน้อยกว่าก่อนที่ไม่มีໂโหลด เนื่องจากໂโหลดเป็นตัวทำให้เกิดแรงบิดต้านแรงหมุนของมอเตอร์ ทำให้มอเตอร์มีความเร็วลดลง โดยที่ เมื่อมีแรงบิดสูง ส่งผลให้ความเร็วรอบของมอเตอร์ที่ความถี่ต่างๆ จะมีค่าลดลง และที่แรงบิดต่ำ ส่งผลให้ความเร็วรอบของมอเตอร์ที่ความถี่ต่างๆ จะมีค่าเพิ่มขึ้นจนถึงสภาวะที่ไม่มีໂโหลด

สรุปได้ว่า ความเร็วรอบแปรผันกับໂโหลด แต่แปรผันตรงกับความถี่

4.6.2 การเปรียบเทียบความถี่ที่มีความสัมพันธ์ระหว่างปอร์เซ็นต์โหลดกับกระแส

จากการทดลอง สามารถนำค่ากระแสของมอเตอร์ที่ความถี่ระหว่าง 30 Hz ถึง 60 Hz และนำมาระเบียนเทียบกับค่าปอร์เซ็นต์โหลด พิจารณาได้ดังรูปที่ 4.12



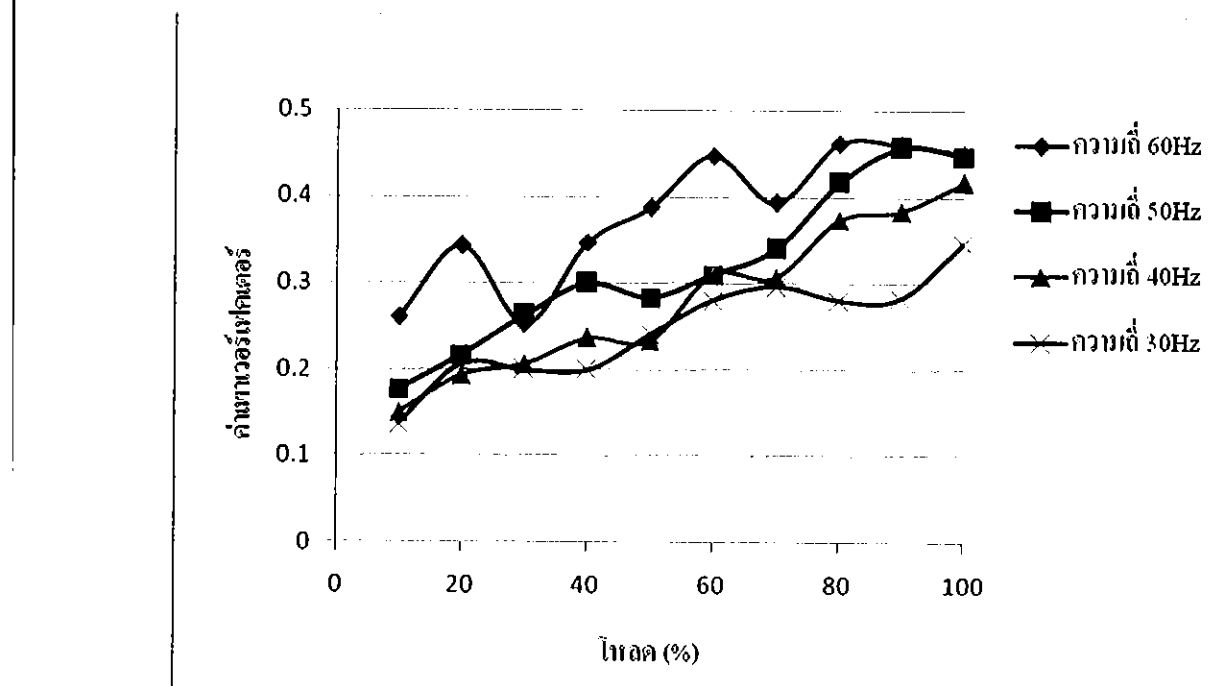
รูปที่ 4.12 แผนภูมิแสดงกระแสของมอเตอร์ที่โหลดขนาดต่างๆ

จากรูปที่ 4.12 พบว่า ที่ความถี่ระหว่าง 30 Hz ถึง 60 Hz ที่มีโหลด 100% จะมีค่ากระแส 0.65 A เพราะมอเตอร์เนี้ยวนำที่ใช้ในการทดลองมีกระแสสูงสุดที่ 0.65 A (จากเนมเพลท) และเมื่อโหลดเพิ่มมากขึ้น ส่งผลให้กระแสเพิ่มมากขึ้นตามไปด้วย โดยในแต่ละความถี่มีค่ากระแสไฟฟ้าของมอเตอร์ที่โหลดขนาดต่างๆ มีค่าอยู่ต่ำสุดที่ความถี่ 30Hz และเพิ่มขึ้นตามความถี่ที่เพิ่มขึ้น นั่นแสดงให้เห็นว่า กระแสจะเพิ่มขึ้นตามความถี่ที่เพิ่มขึ้น

สรุปได้ว่า กระแสแปรผันตรงกับโหลดและจะสูงที่สุดที่โหลดเต็มพิกัด

4.6.3 การเปรียบเทียบความถี่ที่มีความสัมพันธ์ระหว่างเบอร์เซ็นต์ໂ Holden กับค่าเพาเวอร์-แฟคเตอร์

จากการทดลอง สามารถนำค่าเพาเวอร์แฟคเตอร์ของมอเตอร์ที่ความถี่ระหว่าง 30 Hz ถึง 60 Hz และนำมาเปรียบเทียบกับค่าเบอร์เซ็นต์ໂ Holden พิจารณาได้ดังรูปที่ 4.13



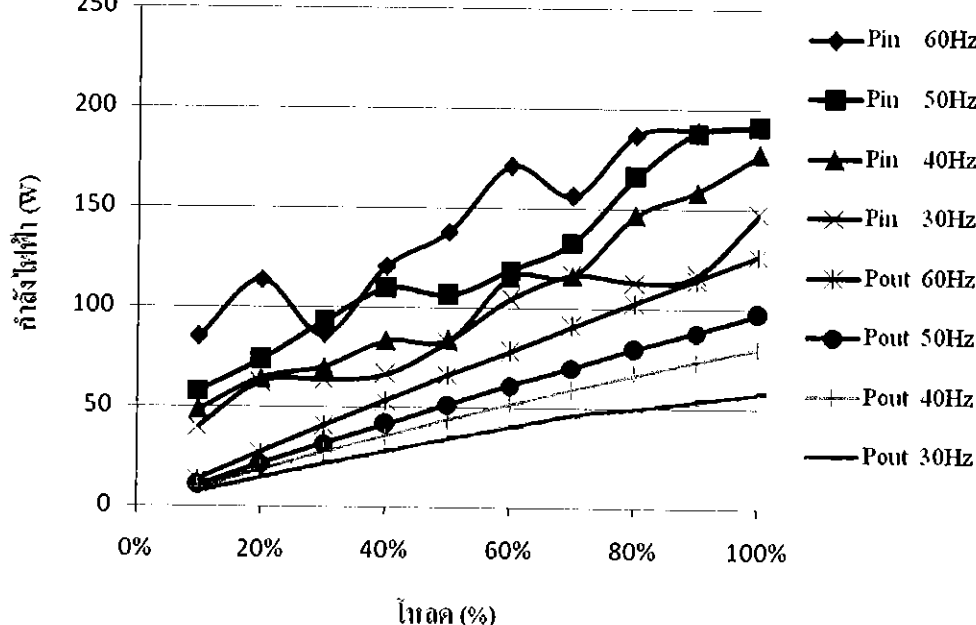
รูปที่ 4.13 แผนภูมิแสดงค่าเพาเวอร์แฟคเตอร์ของมอเตอร์ที่ໂ Holden นาดต่างๆ

จากรูปที่ 4.13 พบว่า ค่าเพาเวอร์แฟคเตอร์มีแนวโน้มที่สูงขึ้น เมื่อมอเตอร์มีการขับໂ Holden ในเบอร์เซ็นต์ที่สูงขึ้น และในทุกๆ ความถี่ มีผลในลักษณะเดียวกันนี้ โดยที่ ความถี่ที่ 60 Hz จะมีค่าเพาเวอร์แฟคเตอร์โดยเฉลี่ยที่สูงที่สุด

สรุปได้ว่า ค่าเพาเวอร์แฟคเตอร์มีแนวโน้มที่จะปรับตัวลงกับໂ Holden และความถี่ (แต่อาจมีบางช่วงที่ไม่เป็นไปตามนั้น อาจเนื่องมาจากความผิดพลาดในการทดลอง)

4.6.4 การเปรียบเทียบแต่ละความถี่ที่มีความสัมพันธ์ระหว่างเบอร์เซ็นต์โหลดกับค่า P_{in} และ P_{out}

จากการทดลองสามารถนำค่ากำลังไฟฟ้าของมอเตอร์ที่ความถี่ 30 Hz ถึง 60 Hz และนำมาเปรียบเทียบกับค่าเบอร์เซ็นต์โหลด พิจารณาได้ดังรูปที่ 4.14



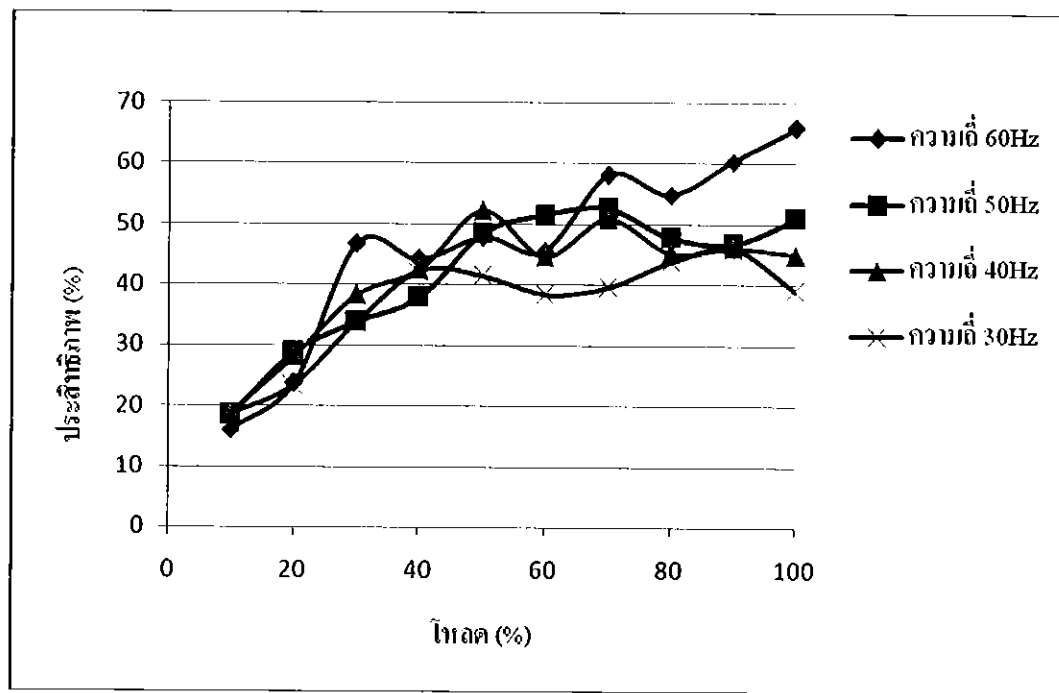
รูปที่ 4.14 แผนภูมิแสดงค่า P_{in} และ P_{out} ของมอเตอร์ที่โหลดขนาดต่างๆ

จากรูปที่ 4.14 พบว่า กำลังอินพุทจะมีค่ามากกว่ากำลังเอาท์พุท แต่ในทางอุดมคตินี้ กำลังเอาท์พุทจะมีค่าเท่ากับกำลังอินพุต ซึ่งในการปฏิบัติจริง จะมีกำลังสูญเสียเกิดขึ้นภายใน มอเตอร์และโหลด ที่ความถี่อื่นๆ ก็เป็นลักษณะเช่นเดียวกันนี้ โดยที่ค่ากำลังไฟฟ้าจะเพิ่มมากขึ้น เมื่อโหลดเพิ่มขึ้น และจะมีค่าสูงที่สุดที่โหลดที่สูงที่สุด

สรุปได้ว่า ค่ากำลังไฟฟ้าอินพุทมีค่ามากกว่ากำลังไฟฟ้าเอาท์พุท และค่ากำลังไฟฟ้าปรับผันต随着กับโหลด และแปรผันตามความถี่ (อาจมีบางช่วงที่ไม่เป็นไปตามนั้น อาจเนื่องมาจากการทดลอง ความผิดพลาดในการทดลอง)

4.6.5 การเปรียบเทียบค่าประสิทธิภาพของมอเตอร์ที่ความถี่ระหว่าง 30 Hz ถึง 60 Hz ต่อความถี่ 40 Hz และ 50 Hz กับความถี่ 60 Hz

จากการทดลอง สามารถนำค่าประสิทธิภาพของมอเตอร์ที่ความถี่ระหว่าง 30 Hz ถึง 60 Hz นำมาเปรียบเทียบกับค่าปั่นหัวต่ำสุด พิจารณาได้ดังรูปที่ 4.15

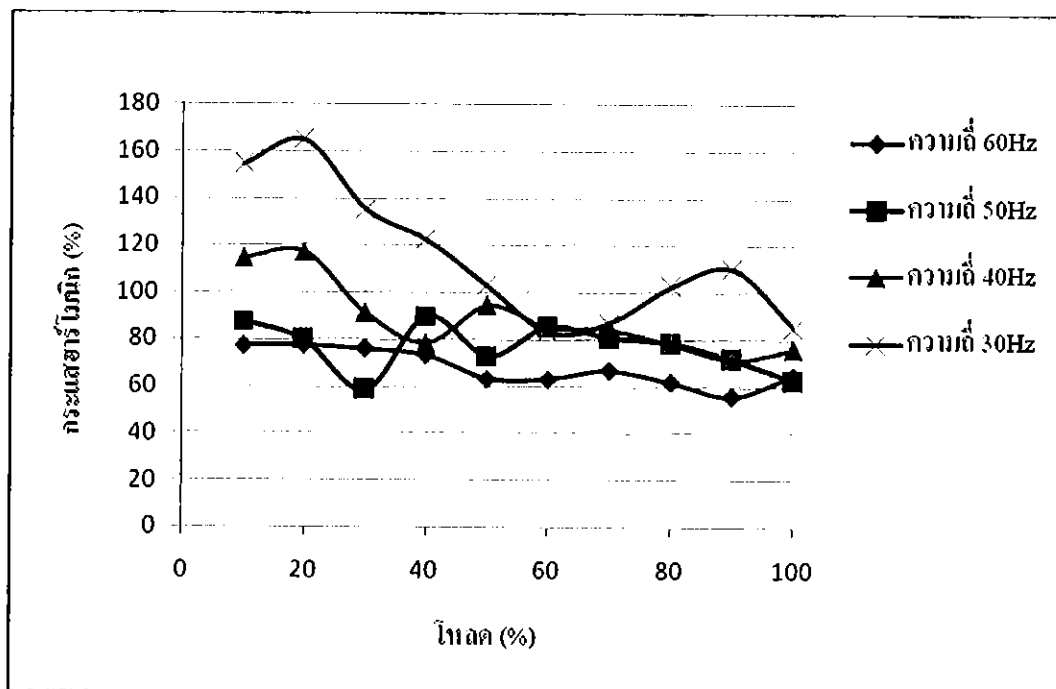


รูปที่ 4.15 แผนภูมิแสดงค่าประสิทธิภาพของมอเตอร์ที่โหลดขนาดต่างๆ

จากรูปที่ 4.15 พบว่า ค่าประสิทธิภาพของมอเตอร์มีการเปลี่ยนแปลงน้อยที่โหลดอยู่ในช่วง 50% ถึง 100% ซึ่งอาจจะมีการเพิ่มขึ้นหรือลดลงเพียงเล็กน้อย และประสิทธิภาพจะมีค่าสูงสุด เมื่อมีสภาวะโหลดโดยเฉลี่ยประมาณ 75% ดังนั้น และที่สภาวะโหลดต่ำ คือ ในช่วงที่โหลดต่ำกว่า 50% โดยประมาณ ค่าประสิทธิภาพของมอเตอร์มีการลดลงอย่างรวดเร็ว ในความถี่อื่นๆ ก็มีผลในลักษณะคล้ายกันนี้ โดยที่ ความถี่ 60 Hz จะมีค่าประสิทธิภาพโดยเฉลี่ยแล้วสูงที่สุด

4.6.6 การเปรียบเทียบแต่ละความถี่ที่มีความสัมพันธ์ระหว่างเบอร์เซ็นต์ໂ Holden กับค่ากระแสยาาร์โนนิกส์

จากการทดลองสามารถนำค่ากระแสยาาร์โนนิกส์ของมอเตอร์ที่ความถี่ 30 Hz ถึง 60 Hz และนำมาเปรียบเทียบกับค่าเบอร์เซ็นต์ໂ Holden พิจารณาได้ดังรูปที่ 4.16



รูปที่ 4.16 แผนภูมิแสดงค่ากระแสยาาร์โนนิกส์ของมอเตอร์ที่ໂ Holden นาดต่างๆ

จากรูปที่ 4.16 พบร่วมกันว่า เมื่อໂ Holden มีค่าสูงขึ้น ส่งผลให้ค่ากระแสยาาร์โนนิกส์มีแนวโน้มที่ลดลง เป็นลักษณะเช่นเดียวกันนี้ในทุกๆ ความถี่ โดยที่ในช่วงความถี่สูงขึ้น จะมีค่ายาาร์โนนิกส์ที่สูงขึ้นด้วยและสูงที่สุดที่ความถี่ 60 Hz สรุปได้ว่า กระแสยาาร์โนนิกส์จะแปรผันตรงกับໂ Holden และความถี่

สรุปได้ว่า กระแสยาาร์โนนิกส์แปรผันกับໂ Holden และความถี่ (อาจมีบางช่วงที่ไม่เป็นไปตามนั้น อาจเนื่องมาจากการทดสอบ)

บทที่ 5

สรุปผลการดำเนินโครงการ

5.1 สรุปผลการดำเนินโครงการ

จากการทดลองและศึกษาผลกระทบของมอเตอร์เหนี่ยวนำ 3 เฟส ในสภาพะ โหลด 10% ถึง 100% โดยควบคุมอินเวอร์เตอร์ที่ความถี่ 30 Hz ถึง 60 Hz จากผลการทดลองพบว่า

5.1.1. การเดินเครื่องมอเตอร์ในสภาพะที่ไม่มีโหลด จะมีค่ากระแสและความเร็วรอบคงที่ แต่เมื่อมีการเปลี่ยนแปลงความถี่ ส่งผลให้กระแสและความเร็วรอบมีการเปลี่ยนแปลง คือ เมื่อความถี่เพิ่มขึ้น ทำให้กระแสและความเร็วรอบก็จะสูงเพิ่มขึ้นด้วย นั่นคือ ความถี่มีผลกระทบต่อ มอเตอร์เหนี่ยวนำ 3 เฟส

5.1.2. การเดินเครื่องมอเตอร์ในสภาพะที่มีโหลด และปรับตั้งความถี่ให้ค่าคงที่ค่าหนึ่ง เมื่อมีการเปลี่ยนแปลงค่าโหลด ส่งผลให้กระแสและความเร็วรอบมีการเปลี่ยนแปลง คือ เมื่อโหลดเพิ่มขึ้น ทำให้กระแสเพิ่มขึ้นจนถึงค่ากระแสพิกัดของมอเตอร์ ส่วนความเร็วรอบจะลดลงเรื่อยๆ จนมอเตอร์เหนี่ยวนำ 3 เฟสหยุดหมุน นั่นคือ โหลดมีผลกระทบต่อมอเตอร์เหนี่ยวนำ 3 เฟส

และเมื่อมีการเปลี่ยนแปลงความถี่พร้อมทั้งมีการเปลี่ยนแปลงค่าโหลด ส่งผลให้กระแส และความเร็วรอบมีการเปลี่ยนแปลงเช่นกัน คือ เมื่อความถี่และโหลดเพิ่มขึ้น ทำให้กระแสเพิ่มขึ้น จนถึงค่ากระแสพิกัดของมอเตอร์ ส่วนความเร็วรอบจะเพิ่มขึ้นเมื่อความถี่มีค่าเพิ่มขึ้นแต่ที่ความถี่เดียวกันนั้น เมื่อมีโหลดเพิ่มขึ้นจะทำให้มอเตอร์มีความเร็วรอบน้อยลงเรื่อยๆ จนหยุดหมุน

5.1.3. ในการพิจารณาค่ากระแสสาร์โนนิกส์นี้ ทำได้โดยการเดินเครื่องมอเตอร์ ในสภาพะที่มีโหลดและไม่มีโหลด ค่ากระแสสาร์โนนิกส์นี้มีการเปลี่ยนแปลงเมื่อความถี่และโหลดมี การเปลี่ยนแปลง จากการศึกษาพบว่า เมื่อควบคุมอินเวอร์เตอร์ที่ความถี่สูงๆ ส่งผลให้ค่าสาร์โนนิกส์มีค่าลดลง นั่นคือ ที่ความถี่สูงๆ ระบบจะมีประสิทธิภาพในการทำงานมากขึ้นจึงทำให้เกิดค่า สาร์โนนิกส์น้อย

5.1.4 การเดินเครื่องมอเตอร์ในสภาพะที่มีโหลด ปรับตั้งความถี่ที่คงที่ค่าหนึ่ง เมื่อมีการเปลี่ยนแปลงค่าโหลด ส่งผลให้ค่าประสิทธิภาพของมอเตอร์มีการเปลี่ยนแปลง คือ เมื่อมีโหลดเพิ่มมากขึ้น ประสิทธิภาพของมอเตอร์ก็จะสูงขึ้นด้วย แต่จะมีค่าสูงที่สุดโดยเฉลี่ยแล้วที่โหลดประมาณ 75 % และค่าประสิทธิภาพจะลดลงอย่างรวดเร็ว เมื่อโหลดมีค่าต่ำกว่า 50% ลงไป และเมื่อมีการเปลี่ยนแปลงความถี่ ส่งผลให้ค่าประสิทธิภาพเปลี่ยนแปลง คือ เมื่อความถี่สูงขึ้น ทำให้ค่า ประสิทธิภาพสูงขึ้นด้วย

ดังนั้น ในการเลือกมอเตอร์เห็นี่ยวน้ำ 3 เฟสไปใช้งาน ต้องเลือกให้เหมาะสมกับงานที่จะนำไปใช้ โดยต้องคำนึงถึงค่ากระแสพิเศษและความเร็วของมอเตอร์ กำลังของมอเตอร์และยังต้องคำนึงถึงการเปลี่ยนแปลงความถี่โดยการควบคุมจากอินเวอร์เตอร์ให้เหมาะสมด้วย

5.2 ประเมินผลการทดลอง

จากการดำเนินงานโครงการเมื่อเทียบกับวัตถุประสงค์ ได้ผลดังนี้

5.2.1 สามารถคำนวณทอร์คได้ จากการวัดทอร์คที่โหลดมีค่า 100% โดยการนำค่าพิเศษกระแสของมอเตอร์เห็นี่ยวน้ำ 3 เฟสมาใช้ในการอ้างอิง เพื่อวัดค่ากระแสและการวัดความเร็วของมอเตอร์ตามค่าโหลดต่างๆ

5.2.2 สามารถบันทึกผลและวัดค่าพารามิเตอร์ต่างๆ ได้ คือ กระแสเฟส กระแสหายใจ นิกส์ ความเร็วของ และเพาเวอร์เฟคเตอร์ ขณะเดินเครื่องมอเตอร์เห็นี่ยวน้ำ 3 เฟสในสภาวะโหลด 10% ถึง 100% และในสภาวะที่ไม่มีโหลดที่ความถี่ 30 Hz ถึง 60 Hz

5.2.3 สามารถคำนวณกำลังของมอเตอร์ทั้งขาเข้าและขาออก และคำนวณค่าประสิทธิภาพขณะเดินเครื่องมอเตอร์เห็นี่ยวน้ำ 3 เฟสในสภาวะโหลด 10% ถึง 100% และในสภาวะที่ไม่มีโหลดที่ความถี่ 30 Hz ถึง 60 Hz

5.2.4 สามารถวิเคราะห์และเปรียบเทียบค่ากระแส ความเร็วของ เพาเวอร์เฟคเตอร์ กระแสหายใจ นิกส์ และประสิทธิภาพของมอเตอร์ ขณะเดินเครื่องมอเตอร์เห็นี่ยวน้ำ 3 เฟสในสภาวะโหลด 10% ถึง 100% และในสภาวะที่ไม่มีโหลดที่ความถี่ 30 Hz ถึง 60 Hz

5.3 ปัญหา ข้อเสนอแนะและแนวทางแก้ไข

5.3.1 ปัญหาเกิดจาก มอเตอร์เห็นี่ยวน้ำที่ใช้ในการทดลองเดินเครื่องนานไม่ได้ เนื่องจาก มอเตอร์จะเกิดความร้อน จึงต้องบันทึกค่าด้วยความรวดเร็วในช่วงที่มอเตอร์เห็นี่ยวน้ำเดินเครื่อง เพื่อป้องกันมอเตอร์เสียหาย

5.3.2 ปัญหาเกิดจากการ ต่อวงจรผิดพลาดทำให้อุปกรณ์ในการทดลองเสียหาย เช่น การต่อกระแสไฟฟ้า 3 เฟส 380 V เข้าที่อินเวอร์เตอร์และการต่อเฟสของมอเตอร์เข้าที่อินเวอร์เตอร์ ต้องระวังอย่าให้สายสัมผัสกัน เพราะจะทำให้เกิดการถดถอยจนขึ้นได้ ดังนั้น จึงต้องระมัดระวัง ในช่วงการต่อวงจรให้มาก

5.3.3 ปัญหาเกิดจาก การปรับทอร์คของโหลดมากเกินไป จนมอเตอร์มีกระแสเกินพิกัด จะทำให้มอเตอร์เสียหายได้ จึงต้องระมัดระวังในการปรับค่าทอร์ค

5.3.4 ปัญหาเกิดจาก อุปกรณ์ในการทดลองมีประสิทธิภาพไม่ค่อยดีทำให้ได้ผลการทดลองคลาดเคลื่อน

5.4 ข้อดีของการศึกษาผลกระทบของมอเตอร์เหนี่ยวนำโดยควบคุมอินเวอร์เตอร์

5.3.1 สามารถนำผลการทดลองไปเปรียบเทียบ เพื่อเลือกใช้มอเตอร์และอินเวอร์เตอร์ให้เหมาะสมกับการใช้งาน โดยคำนึงถึงขนาดกำลังของมอเตอร์ และการใช้อินเวอร์เตอร์เพื่อช่วยในการควบคุม เพื่อให้ได้ประสิทธิภาพที่ดีที่สุด

5.3.2 สามารถวิเคราะห์ค่าพารามิเตอร์ของมอเตอร์เหนี่ยวนำที่ควบคุมด้วยอินเวอร์เตอร์

5.3.3 เป็นแนวทางในการปรับปรุงค่าเพาเวอร์แฟคเตอร์ และกระแสสาร์โนนิคส์เพื่อทำให้มอเตอร์มีประสิทธิภาพในการทำงานมากที่สุด

5.5 แนวทางในการพัฒนาต่อไป

ผลที่ได้จากการศึกษาและทดลองในโครงการนี้ สามารถนำไปประยุกต์ใช้ในโรงงานอุตสาหกรรม ได้ ซึ่งในโครงการนี้ได้กล่าวถึงทฤษฎีและหลักการที่เกี่ยวข้องกับการควบคุมความเร็วมอเตอร์ โดยใช้อินเวอร์เตอร์ปรับความถี่ เพื่อให้เป็นแนวทางในการนำไปพัฒนาการเลือกขนาดและการควบคุมมอเตอร์ให้ได้ประสิทธิภาพสูงสุด ประหยัดพลังงานและเพื่อลดต้นทุนต่อไป

เอกสารอ้างอิง

- [1] สมคิด วิริยะประสิทธิ์, (2542), นอเตอร์ไฟฟ้ากระแสสลับ, หจก.สำนักพิมพ์ฟิลิกส์เซ็นเตอร์, สืบค้นเมื่อวันที่ 10 พฤศจิกายน 2553.
- [2] มงคล ทองสุวรรณ, (2535), เครื่องกลไฟฟ้ากระแสสลับ เล่ม 1, บริษัท รวมการพิมพ์ จำกัด พิมพ์ครั้งที่ 1, สืบค้นเมื่อวันที่ 13 พฤศจิกายน 2553.
- [3] ไชยชาญ hinkeek, (2547), เครื่องกลไฟฟ้า เล่ม 2, สำนักพิมพ์สมาคมส่งเสริมเทคโนโลยี พิมพ์ครั้งที่ 5, สืบค้นเมื่อวันที่ 15 พฤศจิกายน 2553.
- [4] ณรงค์ ชอนตะวัน, (2538), นอเตอร์ไฟฟ้ากระแสสลับ เล่ม 1, เอราวัณการพิมพ์, สืบค้นเมื่อ วันที่ 26 มกราคม 2554.
- [5] วิชัย ศังขันราวนนท์, (2535), ควบคุมเครื่องกลไฟฟ้าด้วยอิเล็กทรอนิกส์กำลัง เล่ม 1, บริษัท ส.เอเชียเพรส พิมพ์ครั้งที่ 4, สืบค้นเมื่อวันที่ 17 มกราคม 2554.
- [6] ณรงค์ ชอนตะวัน, (2538), นอเตอร์ไฟฟ้ากระแสสลับ เล่ม 2, เอราวัณการพิมพ์, สืบค้นเมื่อ วันที่ 17 มกราคม 2554.

ภาคผนวก

ข้อมูลแสดงผลการทดลอง

ตารางที่ 1 ค่ากระแสของมอเตอร์เห็นี่บวนนำ 3 เฟส ที่ความถี่ต่างๆ ในสภาวะที่ไม่มีโหลด

ความถี่ (Hz)	ค่ากระแส (A)			ค่ากระแสเฉลี่ย (A)
	ครั้งที่ 1	ครั้งที่ 2	ครั้งที่ 3	
20	0.457	0.463	0.467	0.462
30	0.494	0.481	0.490	0.488
40	0.515	0.519	0.519	0.517
50	0.527	0.530	0.529	0.528
60	0.532	0.531	0.534	0.532

ตารางที่ 2 ค่าความเร็วรอบของมอเตอร์เห็นี่บวนนำ 3 เฟส ที่ความถี่ต่างๆ ในสภาวะที่ไม่มีโหลด

ความถี่ (Hz)	ความเร็วรอบ (rpm)			ค่าความเร็วรอบเฉลี่ย (rpm)
	ครั้งที่ 1	ครั้งที่ 2	ครั้งที่ 3	
20	572	572	570	571.333
30	866	873	872	870.333
40	1,174	1,171	1,173	1,172.666
50	1,470	1,495	1,469	1,478.000
60	1,766	1,753	1,764	1,761.000

ตารางที่ 3 เพาเวอร์แฟคเตอร์ของมอเตอร์เหนี่ยวนำ 3 เฟส ที่ความถี่ต่างๆ ในสภาวะที่ไม่มีโหลด

ความถี่ (Hz)	เพาเวอร์แฟคเตอร์			เพาเวอร์แฟคเตอร์เฉลี่ย
	ครั้งที่ 1	ครั้งที่ 2	ครั้งที่ 3	
20	0.300	0.360	0.320	0.326
30	0.200	0.280	0.200	0.226
40	0.150	0.180	0.110	0.146
50	0.090	0.040	0.250	0.126
60	0.140	0.130	0.100	0.123

ตารางที่ 4 ค่ากระแสของมอเตอร์เหนี่ยวนำ 3 เฟส ที่ความถี่ 30 Hz ในสภาวะโหลดต่างๆ

ความถี่ (Hz)	โหลด (%)	ค่ากระแส (A)			ค่ากระแสเฉลี่ย (A)
		ครั้งที่ 1	ครั้งที่ 2	ครั้งที่ 3	
30	10	0.439	0.444	0.440	0.441
	20	0.449	0.467	0.455	0.457
	30	0.481	0.486	0.480	0.482
	40	0.502	0.506	0.506	0.504
	50	0.525	0.525	0.520	0.523
	60	0.563	0.565	0.566	0.564
	70	0.593	0.595	0.599	0.595
	80	0.613	0.614	0.610	0.612
	90	0.625	0.626	0.621	0.624
	100	0.646	0.646	0.644	0.645

ตารางที่ 5 ค่าความเร็วรอบของมอเตอร์หนีบวน 3 เฟส ที่ความถี่ 30 Hz ในสภาวะโหลดต่างๆ

ความถี่ (Hz)	โหลด (%)	ความเร็วรอบ (rpm)			ความเร็วรอบเฉลี่ย (rpm)
		ครั้งที่ 1	ครั้งที่ 2	ครั้งที่ 3	
30	10	856	854	856	855.333
	20	841	839	836	838.666
	30	826	822	822	823.333
	40	812	803	807	807.333
	50	793	787	788	789.333
	60	766	766	767	766.333
	70	744	727	737	736.000
	80	719	702	711	710.666
	90	690	674	687	683.666
	100	675	649	659	661.000

ตารางที่ 6 ค่าเพาเวอร์แฟคเตอร์ของมอเตอร์เหนี่ยวนำ 3 เฟส ที่ความถี่ 30 Hz
ในสภาวะโหลดต่างๆ

ความถี่ (Hz)	โหลด (%)	เพาเวอร์แฟคเตอร์			เพาเวอร์แฟคเตอร์เฉลี่ย
		ครั้งที่ 1	ครั้งที่ 2	ครั้งที่ 3	
30	10	0.090	0.170	0.150	0.136
	20	0.120	0.280	0.220	0.206
	30	0.230	0.190	0.180	0.200
	40	0.240	0.150	0.210	0.200
	50	0.250	0.260	0.210	0.240
	60	0.330	0.270	0.240	0.280
	70	0.310	0.290	0.290	0.296
	80	0.280	0.390	0.170	0.280
	90	0.210	0.330	0.310	0.283
	100	0.320	0.410	0.310	0.346

ตารางที่ 7 ค่ากระแสอาร์โนนิกส์รวมของมอเตอร์เห็นี่ยวน้ำ 3 เฟส ที่ความถี่ 30 Hz
ในสภาวะโหลดต่างๆ

ความถี่ (Hz)	โหลด (%)	กระแสอาร์โนนิกส์รวม (A %)			กระแสอาร์โนนิกส์รวมเฉลี่ย (A %)
		ครั้งที่ 1	ครั้งที่ 2	ครั้งที่ 3	
30	10	156.300	169.400	137.400	154.366
	20	189.400	162.600	142.200	164.733
	30	121.900	141.500	142.000	135.133
	40	96.000	140.500	130.300	122.266
	50	91.400	115.600	100.700	102.566
	60	84.460	79.000	85.500	82.986
	70	88.800	81.900	90.800	87.166
	80	92.800	111.300	104.200	102.766
	90	101.400	117.000	111.200	109.866
	100	79.300	88.400	87.300	85.000

ตารางที่ 8 ค่าความเร็วรอบของมอเตอร์หนี่ยาน้ำ 3 เฟส ที่ความถี่ 40 Hz ในสภาวะโหลดต่างๆ

ความถี่ (Hz)	โหลด (%)	ความเร็วรอบ (rpm)			ความเร็วรอบเฉลี่ย (rpm)
		ครั้งที่ 1	ครั้งที่ 2	ครั้งที่ 3	
40	10	1,153	1,156	1,152	1,153.666
	20	1,141	1,143	1,136	1,140.000
	30	1,122	1,127	1,121	1,123.333
	40	1,108	1,116	1,109	1,111.000
	50	1,099	1,098	1,095	1,097.333
	60	1,080	1,075	1,077	1,077.333
	70	1,066	1,061	1,057	1,061.333
	80	1,049	1,044	1,032	1,041.666
	90	1,030	1,020	1,014	1,021.333
	100	1,006	1,002	1,001	1,003.000

ตารางที่ 9 ค่ากระแสของมอเตอร์เหนี่ยวนำ 3 เฟส ที่ความถี่ 40 Hz ในสภาวะโหลดต่างๆ

ความถี่ (Hz)	โหลด (%)	ค่ากระแส (A)			ค่ากระแสเฉลี่ย (A)
		ครั้งที่ 1	ครั้งที่ 2	ครั้งที่ 3	
40	10	0.495	0.496	0.484	0.491
	20	0.502	0.503	0.509	0.504
	30	0.515	0.515	0.512	0.514
	40	0.531	0.531	0.536	0.532
	50	0.543	0.54	0.548	0.543
	60	0.564	0.565	0.562	0.563
	70	0.578	0.57	0.576	0.574
	80	0.594	0.598	0.597	0.596
	90	0.627	0.627	0.629	0.627
	100	0.648	0.645	0.648	0.647

ตารางที่ 10 ค่าเพาเวอร์เฟคเตอร์ของมอเตอร์เหนี่ยวนำ 3 เฟส ที่ความถี่ 40 Hz
ในสภาวะโหลดต่างๆ

ความถี่ (Hz)	โหลด (%)	เพาเวอร์เฟคเตอร์			เพาเวอร์เฟคเตอร์เฉลี่ย
		ครั้งที่ 1	ครั้งที่ 2	ครั้งที่ 3	
40	10	0.150	0.140	0.160	0.150
	20	0.210	0.190	0.180	0.193
	30	0.220	0.180	0.220	0.206
	40	0.210	0.240	0.260	0.236
	50	0.270	0.240	0.190	0.233
	60	0.330	0.290	0.310	0.310
	70	0.320	0.270	0.330	0.306
	80	0.360	0.370	0.390	0.373
	90	0.410	0.390	0.350	0.383
	100	0.430	0.450	0.370	0.416

ตารางที่ 11 ค่ากระแสอาร์โนนิกส์รวมของมอเตอร์เห็นยาน้ำ 3 เฟส ที่ความถี่ 40 Hz
ในสภาพะโหลดต่างๆ

ความถี่ (Hz)	โหลด (%)	กระแสอาร์โนนิกส์รวม (A %)			กระแสอาร์โนนิกส์รวมเฉลี่ย (A %)
		ครั้งที่ 1	ครั้งที่ 2	ครั้งที่ 3	
40	10	111.800	116.800	115.000	114.533
	20	119.900	103.600	127.600	117.033
	30	99.100	82.200	92.300	91.200
	40	84.900	74.100	75.900	78.300
	50	99.500	92.300	91.700	94.500
	60	81.600	66.600	106.800	85.000
	70	84.600	78.400	89.700	84.233
	80	76.100	69.800	88.700	78.200
	90	73.100	67.900	73.700	71.566
	100	84.900	66.900	75.900	75.900

ตารางที่ 12 ค่ากระแสของมอเตอร์หนีบวน 3 เฟส ที่ความถี่ 50 Hz ในสภาวะโหลดต่างๆ

ความถี่ (Hz)	โหลด (%)	ค่ากระแส (A)			ค่ากระแสเฉลี่ย (A)
		ครั้งที่ 1	ครั้งที่ 2	ครั้งที่ 3	
50	10	0.492	0.495	0.498	0.495
	20	0.515	0.513	0.513	0.513
	30	0.532	0.538	0.538	0.536
	40	0.555	0.554	0.554	0.554
	50	0.572	0.565	0.570	0.569
	60	0.588	0.579	0.577	0.581
	70	0.594	0.594	0.591	0.593
	80	0.606	0.602	0.605	0.604
	90	0.630	0.625	0.621	0.625
	100	0.648	0.648	0.647	0.647

ตารางที่ 13 ค่าความเร็วรอบของมอเตอร์เหนี่ยวนำ 3 เฟส ที่ความถี่ 50 Hz ในสภาพ荷ลต่างๆ

ความถี่ (Hz)	荷ลด (%)	ความเร็วรอบ (rpm)			ความเร็วรอบเฉลี่ย (rpm)
		ครั้งที่ 1	ครั้งที่ 2	ครั้งที่ 3	
50	10	1,455	1,452	1,454	1,453.666
	20	1,441	1,441	1,444	1,442.000
	30	1,432	1,430	1,428	1,430.000
	40	1,416	1,414	1,417	1,415.666
	50	1,401	1,403	1,400	1,401.333
	60	1,387	1,390	1,387	1,388.000
	70	1,351	1,370	1,371	1,364.000
	80	1,347	1,355	1,359	1,353.666
	90	1,331	1,334	1,338	1,334.333
	100	1,330	1,324	1,326	1,326.666

ตารางที่ 14 ค่าเพาเวอร์เฟคเตอร์ของนอเตอร์หนีบวน้ำ 3 เฟส ที่ความถี่ 50 Hz
ในสภาวะโหลดต่างๆ

ความถี่ (Hz)	โหลด (%)	เพาเวอร์เฟคเตอร์			เพาเวอร์เฟคเตอร์เฉลี่ย
		ครั้งที่ 1	ครั้งที่ 2	ครั้งที่ 3	
50	10	0.080	0.240	0.210	0.176
	20	0.160	0.260	0.230	0.216
	30	0.230	0.280	0.280	0.263
	40	0.280	0.310	0.310	0.300
	50	0.320	0.250	0.280	0.283
	60	0.320	0.300	0.310	0.310
	70	0.330	0.330	0.360	0.340
	80	0.520	0.350	0.380	0.416
	90	0.540	0.440	0.390	0.456
	100	0.570	0.380	0.390	0.446

ตารางที่ 15 ค่ากระแสอาร์โนนิกส์รวมของมอเตอร์เห็นี่ยวน้ำ 3 เฟส ที่ความถี่ 50 Hz
ในสภาพไฟลดต่างๆ

ความถี่ (Hz)	โหลด (%)	กระแสอาร์โนนิกส์รวม (A %)			กระแสอาร์โนนิกส์รวมเฉลี่ย (A %)
		ครั้งที่ 1	ครั้งที่ 2	ครั้งที่ 3	
50	10	72.500	93.600	96.700	87.600
	20	83.800	78.100	77.500	79.800
	30	77.400	100.800	78.500	85.566
	40	97.800	87.200	84.500	89.833
	50	69.600	75.000	74.400	73.000
	60	73.700	89.700	92.700	85.366
	70	65.000	91.900	84.800	80.566
	80	72.500	83.800	78.600	78.300
	90	69.600	73.700	71.500	71.600
	100	48.400	64.700	74.400	62.500

ตารางที่ 16 ค่ากระแสของมอเตอร์เห็นี่ยวน้ำ 3 เฟส ที่ความถี่ 60 Hz ในสภาพไฟลดต่างๆ

ความถี่ (Hz)	ไฟลด (%)	ค่ากระแส (A)			ค่ากระแสเฉลี่ย (A)
		ครั้งที่ 1	ครั้งที่ 2	ครั้งที่ 3	
60	10	0.489	0.490	0.509	0.496
	20	0.500	0.502	0.506	0.502
	30	0.515	0.517	0.519	0.517
	40	0.527	0.528	0.529	0.528
	50	0.554	0.511	0.557	0.540
	60	0.574	0.587	0.583	0.581
	70	0.600	0.605	0.605	0.603
	80	0.611	0.614	0.617	0.614
	90	0.625	0.624	0.625	0.624
	100	0.643	0.651	0.645	0.646

ตารางที่ 17 ค่าความเร็วรอบของมอเตอร์เห็นี่บวน 3 เพส ที่ความถี่ 60 Hz ในสภาพโหมดต่างๆ

ความถี่ (Hz)	โหมด (%)	ความเร็วรอบ (rpm)			ความเร็วรอบเฉลี่ย (rpm)
		ครั้งที่ 1	ครั้งที่ 2	ครั้งที่ 3	
60	10	1,762	1,755	1,756	1,757.666
	20	1,745	1,745	1,742	1,744.000
	30	1,739	1,732	1,731	1,734.000
	40	1,727	1,716	1,716	1,719.666
	50	1,704	1,702	1,702	1,702.666
	60	1,695	1,691	1,643	1,676.333
	70	1,675	1,677	1,670	1,674.000
	80	1,662	1,653	1,651	1,655.333
	90	1,643	1,641	1,634	1,639.333
	100	1,643	1,630	1,621	1,631.333

ตารางที่ 18 ค่าเพาเวอร์แฟคเตอร์ของมอเตอร์เหนี่ยวนำ 3 เฟส ที่ความถี่ 60 Hz
ในสภาวะโหลดต่างๆ

ความถี่ (Hz)	โหลด (%)	เพาเวอร์แฟคเตอร์			เพาเวอร์แฟคเตอร์เฉลี่ย
		ครั้งที่ 1	ครั้งที่ 2	ครั้งที่ 3	
60	10	0.290	0.240	0.250	0.260
	20	0.350	0.350	0.330	0.343
	30	0.250	0.280	0.230	0.253
	40	0.390	0.300	0.350	0.346
	50	0.430	0.370	0.360	0.386
	60	0.440	0.460	0.440	0.446
	70	0.400	0.390	0.390	0.393
	80	0.470	0.450	0.470	0.463
	90	0.450	0.450	0.480	0.460
	100	0.400	0.460	0.490	0.450

ตารางที่ 19 ค่ากระแสอาร์โนนิคส์รวมของมอเตอร์เห็นี่ยวน้ำ 3 เฟส ที่ความถี่ 60 Hz
ในสภาพไฟลดต่างๆ

ความถี่ (Hz)	โหลด (%)	กระแสอาร์โนนิคส์รวม (A %)			กระแสอาร์โนนิคส์รวมเฉลี่ย (A %)
		ครั้งที่ 1	ครั้งที่ 2	ครั้งที่ 3	
60	10	77.200	83.100	71.300	77.200
	20	86.900	68.200	77.400	77.500
	30	91.200	69.300	67.200	75.900
	40	69.200	65.800	84.700	73.233
	50	55.300	68.800	65.500	63.200
	60	66.300	58.700	64.300	63.100
	70	57.700	66.200	76.100	66.666
	80	50.600	73.400	61.000	61.666
	90	53.300	57.900	56.200	55.800
	100	50.200	64.400	79.900	64.833

ประวัติผู้ดำเนินโครงการ



ชื่อ นายฤทธิรงค์ ศรีโสกา
 ภูมิลำเนา 143/2 หมู่ 6 ต.หัวรอ อ.เมือง จ.พิษณุโลก
 ประวัติการศึกษา

- จบระดับมัธยมศึกษาจากโรงเรียนพุทธชินราชพิทยา
- ปัจจุบันกำลังศึกษาระดับปริญญาตรีชั้นปีที่ 4
 สาขาวิชาวิศวกรรมไฟฟ้า คณะวิศวกรรมศาสตร์
 มหาวิทยาลัยนเรศวร

Email: toyzaku@hotmail.com



ชื่อ นางสาว สุวนิล เวพ
 ภูมิลำเนา 48 หมู่ 2 ต.หนองนางนวล อ.หนองจ้าง จ.อุทัยธานี
 ประวัติการศึกษา

- จบระดับมัธยมศึกษาจากโรงเรียนหนองจ้างวิทยา
- ปัจจุบันกำลังศึกษาระดับปริญญาตรีชั้นปีที่ 4
 สาขาวิชาวิศวกรรมไฟฟ้า คณะวิศวกรรมศาสตร์
 มหาวิทยาลัยนเรศวร

Email: p_o_m_sang@hotmail.com